

# طراحی گشتاورهای غیرخطی زمان-محدود مقاوم برای ربات $n$ -درجه آزادی

## در حضور نامعینی‌ها و غیرخطی‌سازهای ورودی شعاعی و ناحیه مرده

علی ابوئی<sup>۱</sup>، حمیدرضا احمدزاده<sup>۲</sup>، محمد حائری<sup>۳</sup> و محمد مهدی عارفی<sup>۴</sup>

<sup>۱</sup>استادیار، دانشکده مهندسی برق، بخش الکترونیک و کنترل، دانشگاه یزد، Aliabooee@yazd.ac.ir

<sup>۲</sup>دانشجوی کارشناسی ارشد مهندسی برق، بخش الکترونیک و کنترل، دانشگاه یزد، Ahmadzadehhamid@yahoo.com

<sup>۳</sup>استاد، دانشکده مهندسی برق، گروه کنترل، دانشگاه صنعتی شریف، Haeri@sina.sharif.edu

<sup>۴</sup>دانشیار، دانشکده مهندسی برق و کامپیوتر، بخش مهندسی قدرت و کنترل، دانشگاه شیراز، Arefi@shirazu.ac.ir

پذیرش: ۱۳۹۷/۱۰/۱۷

ویرایش: ۱۳۹۷/۰۵/۱۴

دریافت: ۱۳۹۶/۰۶/۱۳

**چکیده:** در این مقاله، ابتدا مدل دینامیکی جامعی برای ربات بازویی  $n$ -درجه آزادی دارای نامعینی ارائه می‌شود که شامل توصیف عملکرد غیرخطی سازهای ورودی از نوع شعاعی و ناحیه مرده است. سپس، مسئله‌ی ریدیابی زمان-محدود مقاوم مسیرهای دلخواه به صورت روابط ریاضی فرمول‌بندی و بیان می‌شود. در ادامه با تعمیم روش کنترل مدل لغزشی ترمینال غیرتکین و تعریف خمینه‌های لغزشی غیرخطی جدید، چندین نوع گشتاورهای ورودی طراحی می‌شوند تا با وجود نامعینی‌ها و غیرخطی‌سازهای ورودی (شعاعی و ناحیه مرده)، متغیرهای پیکربندی مفاصل ربات را در مدت زمان محدودی و بدون هیچ نوع خطاهای حالت ماندگاری به مسیرهای دلخواه برسانند. برای هر دسته از گشتاورهای پیشنهادی، پایداری زمان-محدود سرتاسری سیستم حلقه‌بسته‌ی ربات  $n$ -درجه آزادی با استفاده از تعدادی لم‌های کاربردی و نامساوی‌های متناول به اثبات می‌رسد و هم‌چنین روابطی برای تخمین زمان‌های محدود همگرایی استخراج می‌شوند. این روابط، ارتباط زمان‌های محدود همگرایی را با شرایط اولیه ربات و پارامترهای اختیاری موجود در گشتاورهای ورودی نشان می‌دهند. در انتها، با استفاده از محیط شبیه‌سازی نرم‌افزار MATLAB، گشتاورهای طراحی شده به مدل ربات صنعتی چهار-درجه آزادی SCARA با وجود غیرخطی‌سازهای ورودی اعمال می‌شوند که نتایج شبیه‌سازی‌ها، عملکرد مناسب و قابل قبول ورودی‌های کنترلی پیشنهادی را نشان می‌دهند.

**کلمات کلیدی:** ربات بازویی  $n$ -درجه آزادی، غیرخطی‌سازهای شعاعی و ناحیه مرده، ریدیابی زمان-محدود مقاوم، کنترل مدل لغزشی SCARA.

## Designing Robust Finite-Time Nonlinear Torques for a $n$ -DOF Robot Manipulator with Uncertainties, Sector and Dead-Zone Nonlinearities

Ali Abooe, Hamidreza Ahmadzadeh, Mohammad Haeri, Mohammad Mehdi Arefi

**Abstract:** In this paper, a complete dynamical model is presented for an uncertain  $n$ -DOF robot manipulator containing description of sector and dead-zone nonlinearities. Next, robust finite-time tracking problem of desired trajectories is declared and formulated for the aforementioned robot manipulator. By defining innovative nonlinear sliding manifolds and developing the nonsingular terminal sliding mode control, several types of input torques are designed to exactly reach configuration variables of robot's joints to desired paths within the finite times in the presence of uncertainties, sector and dead-zone nonlinearities. By utilizing some applicable lemmas and well-known inequalities, for each class of the proposed input torques, the global finite-time stability of the closed-loop robot system is proven analytically. Also, several new formulas are extracted for determining the convergence finite times of the closed-loop system. These formulas demonstrate that mentioned times are dependent on robot's initial conditions and optional parameters of the suggested torques. Finally, by using MATLAB software, all classes of the designed torques are numerically simulated onto the SCARA industrial robot manipulator and obtained results show the acceptable performance of the suggested control scheme.

**Keywords:**  $n$ -DOF Robot manipulator, Sector and dead-zone nonlinearities; Robust finite-time tracking; Nonsingular terminal sliding mode control (NTSMC), SCARA industrial robot.

## ۱- مقدمه

تمرکز بر روی مراجع فوق الذکر [۱-۴۷] نشان می‌دهد که اغلب این پژوهش‌ها، دارای چندین کاستی و نقص مشترک هستند که در ادامه چهار مورد از مهم ترین آن‌ها به صورت فهرست وار آورده می‌شوند و هر مورد در یک پارگراف جداگانه به صورت مبسوط مورد بحث و بررسی قرار می‌گیرد.

(الف) درنظر گرفتن مدل خطی سازی شده به جای مدل غیرخطی: برخی از مراجع [۲۷-۲۴] از مدل خطی سازی شده ربات حول نقطه کار استفاده کرده و کنترل کننده‌های خطی را برای رسیدن به هدف ردیابی مسیر پیشنهاد داده‌اند. با توجه به طراحی کنترل کننده بر اساس مدل خطی سازی شده، فقط پایداری مجانبی محلی<sup>۱۳</sup> برای سیستم حلقه‌بسته ربات تضمین می‌شود. با توجه به تغییر مدامون نقطه کار ربات‌ها، این روش‌های کنترلی کارایی چندانی نخواهند داشت.

(ب) عدم توجه با نامعینی‌های<sup>۱۴</sup> مدل ربات: مدل اغلب ربات‌های صنعتی دارای نامعینی‌هایی است که می‌توانند ناشی از مواردی همچون عدم قطبیت در محاسبه‌ی پارامترهای فیزیکی، وجود برخی ترم‌های دینامیکی لاحظ نشده، درنظر نگرفتن گشاورهای اصطکاکی مفاصل و اغتشاش‌های خارجی باشند. برخی مراجع [۳۸، ۴۶، ۳۶، ۲۸، ۲۴، ۲۲، ۱۴]<sup>۱۵</sup> در حین فرآیند طراحی کنترل کننده‌ها، به نامعینی‌های مدل توجه نکرده‌اند که باعث بروز مشکلاتی در حین پیاده‌سازی عملی شده و در نتیجه عملکرد و بازده مورد نظر حاصل نمی‌شود یا حتی در مواردی نایابیاری سیستم حلقه‌بسته ربات رخ می‌دهد. بنابراین باید نامعینی‌های مدل را در هنگام فرآیند طراحی مورد توجه جدی قرار داد و از روش‌های کنترلی استفاده کرد.

(پ) عدم توجه به محدودیت‌های غیرخطی عملگرهای فیزیکی مفاصل ربات: هر ربات استیتا از تعدادی عملگر تشکیل شده است که ورودی‌های کنترلی از طریق آن‌ها به مفاصل اعمال می‌شوند. بنابراین محدودیت‌های غیرخطی عملگرها ممکن است باعث شوند که به جای گشاورهای ورودی طراحی شده، توابع غیرخطی از این گشاورهای کنترلی به مفاصل ربات اعمال شوند. به عبارت دیگر این امکان وجود دارد که عملگرها نقش توابع غیرخطی ساز را در مسیر اعمال ورودی‌های کنترلی به ربات بازی کنند [۴۱-۴۲]. رفتار غیرخطی گری عملگرها می‌تواند از نوع استاتیکی یا دینامیکی باشد و بر همین اساس، عملگرها به دو دسته‌ی کلی غیرخطی سازهای استاتیکی و دینامیکی تقسیم‌بندی می‌شوند. غیرخطی سازهای استاتیکی همان عملگرهایی هستند که توابعی غیرخطی چندحالته از ورودی‌های کنترلی را به سیستم اعمال می‌کنند و هیچ مرتبی دینامیکی ندارند. غیرخطی سازهایی همچون اشیاع<sup>۱۶</sup> [۴۲، ۴۱، ۲۶، ۲۵، ۲۰، ۸]، ناحیه مرده<sup>۱۷</sup> [۴۸، ۴۵، ۴۳، ۳۹] و شعاعی (قطاعی)<sup>۱۸</sup> [۴۵، ۴۸، ۴۹] در این دسته جای می‌گیرند.

در چند دهه‌ی اخیر، ربات‌های ایستا (دارای تکیه گاه ثابت یا پایه‌ی غیرمتحرک متصل به زمین) که از چندین لینک<sup>۱</sup> با مفاصل چرخشی<sup>۲</sup> یا انتقالی<sup>۳</sup> تشکیل شده‌اند، در بسیاری از کاربردهای صنعتی چاچگزین نیروی انسانی شده‌اند و نتیجتاً امروزه نقش مهم و غیرقابل انکاری در مکانیزه کردن و اتوماسیون صنایع مختلف دارند [۱-۵]. اغلب به آخرین مفصل این نوع ربات‌ها که با عنوان ربات‌های بازویی<sup>۴</sup> شناخته می‌شوند، یک وسیله‌ی چنگک مخصوص به نام مجری نهایی<sup>۵</sup> نصب می‌شود. با توجه به نوع مجری نهایی می‌توان از این ربات‌ها در کاربردهای گوناگونی هم چون رنگ‌آمیزی اشیاء، جابجایی قطعات و اجسام سنگین، جوشکاری، برش قطعات فلزی، تراشکاری و ... استفاده کرد. بنابراین با استناد به هدف درنظر گرفته شده برای این نوع ربات‌ها، مجری نهایی باید یک مسیر خاصی را در فضای سه‌بعدی اطراف خود طی کند. با در اختیار داشتن سینماتیک<sup>۶</sup> ربات و استفاده از روابط سینماتیکی معکوس، می‌توان مسیر مورد نظر مجری نهایی را به مسیرهای لازمه برای متغیرهای پیکربندی مفاصل<sup>۷</sup> (جابجایی‌های زاویه‌ای<sup>۸</sup> برای مفاصل چرخشی و جابجایی‌های خطی برای مفاصل انتقالی) تبدیل کرد. بنابراین برای آن که مجری نهایی در چنین ربات‌هایی بتواند وظیفه خاص خود را انجام دهد، موتورهای الکتریکی (هیدرولیکی و یا پنوماتیکی) موجود در مفصل‌ها باید گشاورهای مناسبی را برای هدایت هر مفصل به مسیر مورد نظر فراهم سازند [۶-۱۰].

با توجه به انگیزش مطرح شده، مسئله طراحی گشاورهای ربات با هدف رساندن متغیرهای پیکربندی مفصل‌ها به مسیرهای از پیش طراحی شده، تبدیل به موضوعی چالش برانگیز و جذاب در میان جامعه‌ی مهندسین کنترل شده است. بنابراین در راستای حل این مسئله، پژوهش‌ها و مطالعات گستردۀ ای [۱-۴۷] به چاپ رسیده‌اند که هر کدام راه کارهای کنترلی خاصی را به کار برده‌اند. شاخص ترین این روش‌های کنترلی عبارتند از: روش دینامیک معکوس [۱]، کنترل کننده‌های خطی PD و PID [۲۷-۲۴]، کنترل مدل لغزشی<sup>۹</sup> [۲، ۳، ۷، ۸، ۱۵]، کنترل تطبیقی (وقfi) [۴۶، ۳۸، ۳۶]، کنترل مدل لغزشی<sup>۹</sup> [۱۴، ۲۰، ۲۲]، روش کنترلی خطی سازی فیدبک<sup>۱۰</sup> [۴۱]، کنترل پیش‌بین<sup>۱۱</sup> [۲۱، ۲۸]، روش گام به عقب (پسگام)<sup>۱۲</sup> [۳۱]، کنترل فازی [۳۳، ۴۲] او کنترل کننده‌های طراحی شده بر اساس شبکه‌های عصبی مصنوعی [۳۰، ۳۴]. شایان ذکر است برخی مراجع از تلفیق چندین روش کنترلی به منظور حل مسئله ردیابی برای بازویهای رباتی استفاده کرده‌اند. برخی از این روش‌های ترکیبی کنترلی عبارتند از: کنترل مدل لغزشی-فازی غیرخطی [۳۵، ۳۲]، کنترل مدل لغزشی-تطبیقی غیرخطی [۱۷]، کنترل مدل لغزشی<sup>۹</sup> [۴، ۲، ۲۰]، کنترل تطبیقی کنترل کنترلی عبارتند از: کنترل مدل لغزشی-بهینه، تلفیق کنترل تطبیقی با روش‌های فازی و شبکه‌های عصبی مصنوعی [۴۰، ۳۱، ۲۹، ۴۰]، روش کنترلی پسگام-تطبیقی [۱۸، ۳۷، ۳۹].

<sup>10</sup> Feedback linearization

<sup>11</sup> Model predictive control

<sup>12</sup> Backstepping control

<sup>13</sup> Local asymptotic stability

<sup>14</sup> Uncertainties

<sup>15</sup> Actuators

<sup>16</sup> Saturation

<sup>17</sup> Dead-zone

<sup>18</sup> Sector nonlinearities

<sup>1</sup> Link

<sup>2</sup> Revolute joints

<sup>3</sup> Prismatic joints

<sup>4</sup> Robot manipulators

<sup>5</sup> End effector (Gripper)

<sup>6</sup> Kinematic

<sup>7</sup> Configuration variables

<sup>8</sup> Angular displacements

<sup>9</sup> Sliding mode control

مناسب،<sup>۳</sup> ارائهٔ رابطهٔ مشخص برای محاسبهٔ و تخمین زمان محدود همگرایی سیستم حلقه‌بسته،<sup>۴</sup> قابلیت تلفیق ساده با روش‌های کنترلی دیگر به منظور برآورده ساختن خواسته‌های کنترلی بیشتر،<sup>۵</sup> تحقق فیزیکی ساده و پیاده‌سازی عملی ارزان [۱، ۲، ۱۵، ۸، ۳، ۱۹، ۱۷، ۵۱، ۵۵، ۵۳-۵۵].

با توجه به مباحث انگیزشی مطرح شده، در این مقاله مسئلهٔ ردیابی زمان-محدود مقاوم<sup>۷</sup> برای ربات<sup>۸</sup>-درجه آزادی مورد مطالعه و بحث قرار می‌گیرد. مدل ربات مورد مطالعه تحت تاثیر سه عامل<sup>۹</sup> (نامعینی‌ها و اغتشاش،<sup>۱۰</sup> گشتاورهای اصطکاکی و<sup>۱۱</sup> غیرخطی‌سازهای ورودی<sup>۱۲</sup>) از نوع شعاعی و ناحیه مرده می‌باشد. در این مقاله با تعمیم روش کنترل مد لغزشی ترمینال غیرتکین و تعریف خمینه‌های لغزشی غیرخطی جدید، چهار دستهٔ مجزا از گشتاورهای ورودی کنترلی برای ربات<sup>۸</sup>-درجه آزادی طراحی می‌شوند. هر دسته از این گشتاورهای پیشنهادی می‌توانند در مدت زمان محدود قابل تنظیم، متغیرهای پیکربندی ربات را به مسیرهای دلخواه از پیش طراحی شده برسانند. این مقاله در مقایسه با مقالات مرتبط دیگر، دارای چندین نوآوری شاخص و بر جسته می‌باشد که در زیر به صورت فهرست‌وار به آنها اشاره می‌شود.

(۱) تضمین پایداری زمان-محدود مقاوم سیستم حلقه‌بستهٔ ربات در حضور نامعینی‌ها، گشتاورهای اصطکاکی و غیرخطی‌سازهای ورودی شعاعی و ناحیه مرده.

(۲) قابلیت تعمیم هر چهار دستهٔ گشتاورهای پیشنهادی به کلاس وسیع و گسترده‌ای از ربات‌های بازویی استا.

(۳) استخراج روابط جدیدی برای تعیین و تخمین زمان‌های محدود همگرایی سیستم حلقه‌بستهٔ ربات

(۴) قابلیت کاهش زمان‌های محدود همگرایی و بهبود کیفیت پاسخ‌های گذراي متغیرهای پیکربندی ربات به وسیلهٔ تنظیم مناسب پارامترهای آزاد موجود در گشتاورهای کنترلی پیشنهادی. در این مقاله روابط صریحی استخراج می‌شوند که نحوه وابستگی میان زمان‌های محدود همگرایی را با پارامترهای آزاد موجود در ورودی‌های کنترلی بیان می‌کنند.

بخش‌های بعدی مقاله به شرح زیر ساماندهی و نوشه شده‌اند. در بخش دوم، مفاهیم ریاضی مرتبط با پایداری زمان-محدود مرور می‌شوند. بخش سوم به معروفی مدل ربات<sup>۸</sup>-درجه آزادی و توصیف غیرخطی‌سازهای شعاعی و ناحیه مرده اختصاص می‌یابد. مسئلهٔ ردیابی زمان-محدود مقاوم در همین بخش فرمولبندی می‌شود. در بخش چهارم، طراحی چهار دستهٔ مجزا از گشتاورهای غیرخطی ورودی ربات انجام می‌پذیرد. نتایج شبیه‌سازی‌های مقاله بر روی ربات صنعتی SCARA در بخش پنجم آورده می‌شوند. بخش ششم به جمع‌بندی، نتیجه‌گیری کلی و بیان کارهای آینده اختصاص داده می‌شود.

**علائم ریاضی.** بردار  $x \in \mathbb{R}^n$  و ماتریس مربعی  $A \in \mathbb{R}^{n \times n}$  را در نظر

غیرخطی‌سازهای دینامیکی عملگرها<sup>۱</sup> بستند که ارتباط میان ورودی و خروجی آن‌ها از طریق معادلات دیفرانسیلی غیرخطی چندوضعیتی توصیف می‌شود و این عملگرها مرتبهٔ دینامیکی سیستم حلقه‌بستهٔ تحت کنترل را افزایش می‌دهند. غیرخطی‌سازهایی همچون لقی<sup>۲</sup> [۴۴، ۴۶، ۴۷] و هیسترزیس از این نوع هستند. برخی از مراجع در حین طراحی گشتاورهای کنترلی برای ربات‌ها به وجود غیرخطی‌سازها توجه نمی‌کنند که این موضوع باعث مشکلات عدیده‌ای از جملهٔ کاهش سرعت پاسخ گذراي سیستم حلقه‌بسته، کاهش شدید دقت حرکت مجری نهایی ربات، عملکرد و کارایی نامطلوب سیستم حلقه‌بسته، رفتار دینامیکی غیرقابل انتظار از ربات تحت کنترل و حتی در مواردی ناپایداری سیستم حلقه‌بسته رخ خواهد داد [۴۸، ۴۹]. بنابراین باید در حین طراحی کنترل کننده‌های ربات این موضوع لحاظ شده و ابابت پایداری‌های سیستم حلقه‌بسته با وجود رفتار غیرخطی گری عملگرها انجام شود.

(ت) عدم توجه به پایدارسازی زمان-محدود سرتاسری<sup>۳</sup> سیستم حلقه‌بستهٔ ربات: اغلب روش‌های کنترلی غیرخطی ارائه شده در بحث ردیابی مسیر ربات‌ها [۱، ۴-۷، ۱۸، ۹-۱۴، ۲۰-۴۷]، فقط پایداری مجانبی سیستم حلقه‌بسته را تضمین می‌کنند و بنابراین بعد از گذشت زمان نامحدود، خطاهای ردیابی به صفر همگرا می‌شوند. در بسیاری از کاربردهای عملی برای ربات‌ها لازم است که متغیرهای پیکربندی در مدت زمان محدودی دقیقاً به مسیرهای دلخواه برسند و بنابراین روش کنترلی مورد استفاده باید پایداری زمان-محدود سیستم حلقه‌بسته را تضمین کند [۲، ۳، ۲۰، ۸، ۱۵، ۱۷، ۱۹]. تاکنون سه روش و راه کار کلی برای پایدارسازی زمان-محدود سیستم‌های دینامیکی غیرخطی ارائه شده است [۲، ۳، ۱۵، ۸، ۱۷، ۱۹، ۱۹، ۵۰-۶۱] که عبارتند از: روش شبه-لیاپانوف مستقیم<sup>۴</sup> [۵۰، ۵۲]، روش هموژنی<sup>۵</sup> [۶۱، ۵۶] و روش کنترل مد لغزشی ترمینال غیرتکین<sup>۶</sup> [۲، ۳، ۸، ۱۵، ۱۷، ۱۹، ۵۱، ۵۳-۵۵، ۵۷-۵۹]. در راه کار اول که براساس قضیه‌ای مشابه با قضیه لیاپانوف پایه گذاری شده است، یافتن کاندیدای لیاپانوف مناسب که بتواند نامساوی موجود در قضیه را برآورده سازد، کاری سخت و زمان‌بر بوده و هم‌چنین الگوریتم سیستماتیکی در این روش برای طراحی وجود ندارد [۵۰]. روش پایدارسازی زمان-محدود هموژنی فقط قابلیت اعمال به سیستم‌های غیرخطی با درجه هموژنی منفی را دارد. با بهره‌گیری از این روش، فقط وجود زمان محدود برای همگرا شدن دقیق متغیرهای سیستم تحت مطالعه به نقطه تعادل تضمین شده و هیچ رابطه خاصی برای محاسبه و تخمین این زمان محدود ارائه نمی‌شود [۵۶، ۶۱]. رهیافت کنترل مد لغزشی ترمینال غیرتکین بر اساس همان اصول کنترل مد لغزشی معمولی بینان گذاری شده و روشنی دو مرحله‌ای است که این مرحل در بخش چهارم مقاله توضیح داده خواهد شد. روش سوم برای پایدارسازی زمان-محدود سیستم‌های غیرخطی، خمینه‌های لغزشی غیرخطی<sup>۷</sup> را جایگزین سطوح لغزشی خطی کرده است. این روش دارای ویژگی‌ها و برتری‌های شاخصی است که برخی از آنها عبارتند از: (۱) مقاوم بودن در برابر انواع نامعینی‌ها و اغتشاش خارجی، (۲) پاسخ گذراي سریع و

<sup>۵</sup> Nonsingular terminal sliding mode control

<sup>۶</sup> Nonlinear sliding manifolds

<sup>۷</sup> Robust finite-time tracking problem

<sup>۸</sup> Input nonlinearities

<sup>۱</sup> Backlash

<sup>۲</sup> Global finite-time stability

<sup>۳</sup> Direct Lyapunov-like

<sup>۴</sup> Homogenous control method

همگرایی  $T(x_0)$  چنان وجود دارد که برای  $x(t) \geq T(x_0)$ ، همگی متغیرهای حالت سیستم غیرخطی با شروع از هر شرایط اولیه دلخواه دقیقاً به نقطه تعادل  $\mathbf{0} = x$  همگرا می‌شوند و نامساوی (۴) می‌تواند تخمینی از کران بالای  $T(x_0)$  ارائه دهد [62].

$$T(x_0) \leq (\rho_3(1 - \rho_2))^{-1} (\ln(\rho_3 V^{1-\rho_2}(x_0) + \rho_1) - \ln \rho_1) \quad (4)$$

**لم ۳.** سیستم غیرخطی (۱) را با  $\Gamma \subseteq \mathbb{R}^n$  درنظر بگیرید. نقطه تعادل  $x = \mathbf{0}$  پایدار زمان-محدود سرتاسری است اگر تابع شاععی بیکران پیوسته مشتق‌پذیر  $\{0\} \cup V(x): \Gamma \rightarrow \mathbb{R}^+$  و اعداد حقیقی  $\rho_2 > \rho_1 > 0$ ،  $\rho_5 = 1 + 0.5(\rho_3)^{-1}$ ،  $\rho_4 = 1 - 0.5(\rho_3)^{-1}$ ،  $\rho_3 > 1$ ،  $\rho_2 V^{\rho_2}(x) + \rho_1 V^{\rho_1}(x) + \rho_5 V^{\rho_5}(x) \leq 0$  داشته باشد که نامساوی  $\dot{V}(x)$  برآورده شود. علاوه بر این، تمامی متغیرهای حالت سیستم غیرخطی برای زمان‌های  $t \geq T$ ، دقیقاً به نقطه تعادل  $\mathbf{0} = x$  می‌رسند. شایان ذکر است که نامساوی  $\pi \rho_3(\sqrt{\rho_1 \rho_2})^{-1} \leq \sqrt{\rho_1 \rho_2}$ ، کران بالای زمان محدود همگرایی  $T$  را ارائه می‌دهد و این کران بالا، برخلاف رابطه‌های (۳) و (۴) به شرایط اولیه سیستم غیرخطی یعنی بردار  $x_0$  بستگی ندارد [63]. ■

**لم ۴.** سیستم غیرخطی مرتبه دوم رابطه (۵) را با ورودی کنترلی  $\dot{x}_1 = x_2$  and  $\dot{x}_2 = g(x_1, x_2)$  درنظر بگیرید که دو عدد حقیقی  $\rho_1$  و  $\rho_2$  شرط  $\rho_2 > \rho_1 > 0$  را برآورده می‌سازند. آنگاه هر دو متغیر حالت  $x_1$  و  $x_2$  (با شروع از هرشرط اولیه‌ای) برای زمان‌های  $t \geq T(x_1(0), x_2(0))$  دقیقاً به صفر همگرا می‌شوند.

در رابطه (۶)، علاوه بر تخمینی از کران بالای  $(T(x_1(0), x_2(0)), T(x_1(0), x_2(0)))$ ، تابع لیاپانوفی نیز معرفی شده است که با استفاده از آن می‌توان پایداری زمان-محدود سرتاسری سیستم حلقه‌بسته (۵) را اثبات کرد. شایان ذکر است که کران بالای زمان  $T(x_1(0), x_2(0))$  به تابع لیاپانوف معرفی شده در لحظه  $t = 0$  وابسته است.

$$\begin{aligned} T(x_1(0), x_2(0)) &\leq 2(\min(\rho_4))^{-1} \sqrt{V(x_1(0), x_2(0))} \\ V(x_1, x_2) &= \begin{cases} 0.25(\rho_4)^2(h)^2 & \text{if } x_1 x_2 \neq 0 \\ 0.25(\bar{\rho})^2 x_2^2 & \text{if } x_1 = 0 \\ 0.25|x_1| & \text{if } x_2 = 0 \end{cases} \quad (6) \\ h &= (\rho_3)^{-1} x_2 \text{sign}(x_1) + \rho_5 \sqrt{|x_1| + 0.5(\rho_3)^{-1} x_2^2} \end{aligned}$$

مقدار عدد حقیقی  $\bar{\rho}$  چنان انتخاب می‌شود که نامساوی  $\rho_1 V^{\rho_2}(x) \leq 0$  برآورده شود، آنگاه نقطه تعادل  $\mathbf{0} = x$  پایدار زمان-محدود سرتاسری خواهد بود. علاوه بر این، نامساوی (۳) تخمینی از کران بالای زمان محدود همگرایی  $T(x_0)$  ارائه می‌دهد که برای زمان‌های  $t \geq T(x_0)$  همهی متغیرهای حالت سیستم غیرخطی با شروع از هر شرایط اولیه‌ای دقیقاً به نقطه تعادل  $\mathbf{0} = x$  می‌رسند [50]. ■

$$\begin{aligned} \rho_3 &= \rho_1 + \rho_2 \text{sign}(x_1 x_2) \\ \rho_4 &= \sqrt{0.5\rho_3} |\sqrt{2\rho_3} \bar{\rho} - 1| \end{aligned} \quad (7)$$

**لم ۵.** سیستم غیرخطی مرتبه دوم (۵) را با ورودی کنترلی رابطه (۸) درنظر بگیرید که  $\rho_1$  عددی حقیقی با شرط  $1 < \rho_1 < \rho_2$  است. آنگاه هر دو متغیر حالت  $x_1$  و  $x_2$  (با شروع از هرشرط اولیه‌ای) برای زمان‌های  $t \geq T(x_1(0), x_2(0))$  دقیقاً به صفر واقعی می‌رسند.

بگیرید. نمادهای  $\|x\|$  و  $\|A\|$  به ترتیب توصیف کننده نرم‌های اقلیدسی<sup>۱</sup> بردار  $x$  و ماتریس  $A$  هستند و با رابطه‌های  $\|x\| = \sqrt{x^T x}$  و  $\|A\| = \sqrt{\lambda_{max}(A^T A)}$  محاسبه می‌شوند که  $\lambda_{max}(A^T A)$  بیانگر بزرگترین مقدار sign( $x$ ) است برای عدد حقیقی  $x \in \mathbb{R}$  دونماد  $|x|$  و برای ماتریس  $A^T A$  است برای عدد حقیقی  $x \in \mathbb{R}$  دونماد  $|x|$  و بمفهوم تابع قدرمطلق و تابع علامت می‌باشد. شایان ذکر است که در سرتاسر این مقاله منظور دقیق از اصطلاحات پایداری زمان-محدود و ردیابی زمان-محدود همان پایداری زمان-محدود سرتاسری و ردیابی زمان-محدود سرتاسری است.

## ۲- تعریف و لم‌های کاربردی پایداری زمان-محدود سیستم‌های غیرخطی

در این بخش، پس از تعریف پایداری زمان-محدود، چندین لم کاربردی مرتبط با پایدارسازی سیستم‌های غیرخطی برای زمان-محدود، این لم‌ها در اثبات قضیه‌های اصلی مقاله مورد استفاده قرار خواهند گرفت.

**تعریف ۱.** سیستم غیرخطی مرتبه  $n$  را درنظر بگیرید که دارای نقطه تعادل  $\mathbf{0} = x$  بوده و برای بردار شرط اولیه دلخواه  $x_0$  دارای بردار پاسخ یکتای  $x(t, x_0)$  است.

$$\dot{x} = f(x) \text{ with } f(\mathbf{0}) = \mathbf{0}, x \in \Gamma \subseteq \mathbb{R}^n \text{ and } x(0) = x_0 \quad (1)$$

در این رابطه،  $f: \Gamma \rightarrow \mathbb{R}^n$  تابع برداری پیوسته و  $\Gamma \subseteq \mathbb{R}^n$  همسایگی باز از نقطه تعادل  $\mathbf{0} = x$  می‌باشد. آنگاه نقطه تعادل  $\mathbf{0} = x$  پایدار زمان-محدود محلی<sup>۲</sup> است اگر دو شرط (الف) و (ب) برقرار باشند.

(الف) نقطه تعادل  $\mathbf{0} = x$  باید در ناحیه  $\tilde{\Gamma}$ ، پایدار مجانی محلی باشد که  $\tilde{\Gamma} \subseteq \Gamma$  بک همسایگی باز حول نقطه تعادل است.

(ب) برای هر بردار شرط اولیه  $x_0$ ، زمان محدود همگرایی  $T(x_0): \tilde{\Gamma} \setminus \{0\} \rightarrow [0, \infty)$  وجود داشته باشد به طوری که رابطه (۲) برآورده شود.

$$\lim_{t \rightarrow T(x_0)} x(t, x_0) = \mathbf{0} \text{ for } t \geq T(x_0) \quad (2)$$

در صورتی که  $\Gamma = \mathbb{R}^n$  باشد، آنگاه نقطه تعادل  $\mathbf{0} = x$  پایدار زمان-محدود سرتاسری<sup>۳</sup> است [50]. ■

**لم ۱.** سیستم غیرخطی (۱) را با  $\Gamma \subseteq \mathbb{R}^n$  درنظر بگیرید. اگر تابع شاععی بیکران<sup>۴</sup> پیوسته مشتق‌پذیر  $\{0\} \cup V(x): \Gamma \rightarrow \mathbb{R}^+$  و دو عدد حقیقی  $\rho_1 > 0$  و  $\rho_2 < 1 < \rho_1$  چنان وجود داشته باشد که نامساوی  $\dot{V}(x) + \rho_1 V^{\rho_2}(x) \leq 0$  برآورده شود، آنگاه نقطه تعادل  $\mathbf{0} = x$  پایدار زمان-محدود سرتاسری خواهد بود. علاوه بر این، نامساوی (۳) تخمینی از کران بالای زمان محدود همگرایی  $T(x_0)$  ارائه می‌دهد که برای زمان‌های  $t \geq T(x_0)$  همهی متغیرهای حالت سیستم غیرخطی با شروع از هر شرایط اولیه‌ای دقیقاً به نقطه تعادل  $\mathbf{0} = x$  می‌رسند [50]. ■

$$T(x_0) \leq (\rho_1(1 - \rho_2))^{-1} V^{1-\rho_2}(x_0) \quad (3)$$

**لم ۲.** سیستم غیرخطی (۱) را با  $\Gamma \subseteq \mathbb{R}^n$  درنظر بگیرید. نقطه تعادل  $\mathbf{0} = x$  پایدار زمان-محدود سرتاسری است اگر تابع شاععی بیکران پیوسته مشتق‌پذیر  $\{0\} \cup V(x): \Gamma \rightarrow \mathbb{R}^+$  و سه عدد حقیقی  $0 < \rho_1 < \rho_2 < 1 < \rho_3$  چنان وجود داشته باشد که نامساوی  $\dot{V}(x) + \rho_1 V^{\rho_2}(x) + \rho_3 V^{\rho_3}(x) \leq 0$  برآورده شود. همچین، زمان محدود

<sup>۱</sup> Globally finite time stable

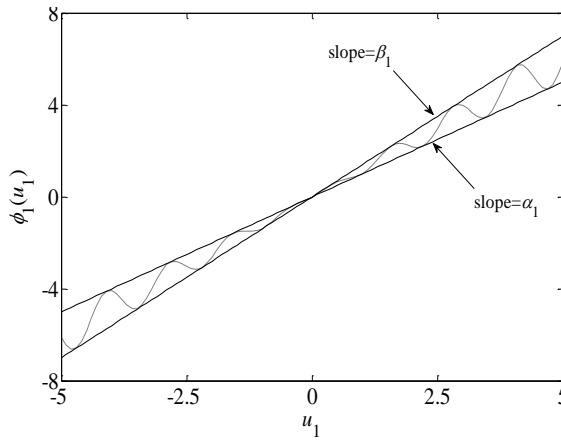
<sup>۲</sup> Radially unbounded

<sup>۳</sup> Euclidean norm

<sup>۴</sup> Locally finite time stable

(۱۴)

در رابطه (۱۴) که تابع غیرخطی‌ساز شعاعی  $(u_i)\phi_i$  را توصیف می‌کند، ضرایب  $\alpha_i, \beta_i$  اعداد حقیقی مثبت و معلوم می‌باشند. در واقع نامساوی (۱۴) بیانگر این موضوع است که تابع غیرخطی‌ساز  $(u_i)\phi_i$  درون قطاع  $[\alpha_i, \beta_i]$  قرار می‌گیرد. شکل ۱ تصویری مفهومی از نحوه عملکرد تابع غیرخطی‌ساز شعاعی  $(u_i)\phi_i$  را برای  $i = 1$  ارائه می‌دهد [۴۸, ۴۹].



شکل ۱. تصویری مفهومی از عملکرد تابع غیرخطی‌ساز  $(u_i)\phi_i$  محصور شده درون قطاع  $[\alpha_i, \beta_i]$  [۴۸, ۴۹]

رابطه (۱۵) نحوه عملکرد تابع غیرخطی‌ساز ناحیه مرده  $(u_i)\phi_i$  را شرح می‌دهد که  $(u_i)\phi_i$   $\phi_{+i}(u_i) - \phi_{-i}(u_i)$  توابعی غیرخطی مثبت نامعلوم از گشتاور ورودی  $u_i$  هستند. برای  $u_{-i} < 0$   $\alpha_{+i} > 0$   $\alpha_{-i} > 0$  و  $\beta_{+i} > 0$   $\beta_{-i} > 0$  چهار عدد حقیقی ثابت و معلوم هستند که دو عدد حقیقی  $\beta_{+i}$  و  $\beta_{-i}$  همواره دو نامساوی  $\beta_{-i} < \phi_{-i}(u_i) < \phi_{+i}(u_i) < \beta_{+i}$  را ارضا می‌کنند.

$$\phi_i(u_i) = \begin{cases} (\alpha_i - u_{+i})\phi_{+i}(u_i) & \text{if } u_i > u_{+i} \\ 0 & \text{if } u_{-i} \leq u_i \leq u_{+i} \\ (\alpha_i - u_{-i})\phi_{-i}(u_i) & \text{if } u_i < u_{-i} \end{cases} \quad (15)$$

and

$$\begin{cases} (\alpha_i - u_{+i})\phi_i(u_i) \geq \beta_{+i}(u_i - u_{+i})^2 & \text{if } u_i > u_{+i} \\ \phi_i(u_i) = 0 & \text{if } u_{-i} \leq u_i \leq u_{+i} \\ (\alpha_i - u_{-i})\phi_i(u_i) \geq \beta_{-i}(u_i - u_{-i})^2 & \text{if } u_i < u_{-i} \end{cases}$$

شکل ۲ تصویری مفهومی از نحوه عملکرد تابع غیرخطی‌ساز ناحیه مرده  $(u_i)\phi_i$  را برای  $i = 1$  ارائه می‌دهد. برای ربات  $n$ -درجه آزادی رابطه (۱۱)، همواره فرض ۲ در سرتاسر مقاله برقرار است.

## فرض ۲. برای ربات $n$ -درجه آزادی، دو بردار $\dot{q} \in \mathbb{R}^n$ و $q \in \mathbb{R}^n$

همواره و در هر لحظه از زمان به طور فیزیکی با حسگرهای (سنسورهای) دقیق اندازه گیری شده و در اختیار می‌باشند. بنابراین در تولید گشتاورهای ورودی مفاصل، می‌توان از این دو بردار استفاده کرد.

در ادامه، مسئله ریدیابی زمان-محدود مقاوم برای ربات  $n$ -درجه آزادی، به فرم روابط ریاضی فرمولبندی می‌شود. بردار مسیرهای مورد نظر برای متغیرهای پیکربندی مفاصل (چرخشی یا انتقالی) ربات به فرم  $q_d(t) = [q_{d_1} \ q_{d_2} \ \dots \ q_{d_n}]^T$  انتخاب می‌شود که انتخاب مناسب  $\eta_d$  می‌تواند باعث شود که مجری نهایی ربات عمل خاصی را در فضای سه بعدی اطراف خودش انجام دهد. در مسئله ریدیابی ذکر شده، گشتاورهای ورودی  $u \in \mathbb{R}^n$  باید چنان طراحی شوند که بتوانند بردار

$$g(x_1, x_2) = -|x_2|^{\rho_1} \text{sign}(x_2) - |\ell(x_1, x_2)|^{\rho_1(2-\rho_1)^{-1}} \text{sign}(\ell(x_1, x_2)) \quad (8)$$

$$\ell(x_1, x_2) = x_1 + (2 - \rho_1)^{-1}|x_2|^{2-\rho_1} \text{sign}(x_2)$$

کران بالای (۸) از نامساوی رابطه (۹) تخمین زده می‌شود که  $\rho_2$  و  $\rho_3$  دو عدد حقیقی اختیاری با شرایط  $0 < \rho_2 < \rho_3$  می‌باشد [۵۰].

$$T_{conv} \leq (\varpi(1 - \rho_1))^{-1} (3 - \rho_1)(V(x_1(0), x_2(0)))^{\frac{1-\rho_1}{3-\rho_1}} \quad (9)$$

که تابع  $V(x_1, x_2)$  توسط رابطه (۱۰) معرفی می‌شود.

$$V(x_1, x_2) = \frac{2-\rho_1}{3-\rho_1} |\ell(x_1, x_2)|^{\frac{3-\rho_1}{2-\rho_1}} + \rho_2 x_2 \ell(x_1, x_2) + \frac{\rho_3}{3-\rho_1} |x_2|^{3-\rho_1} \quad (10)$$

$$\varpi = \max_{(x_1, x_2) \in \Xi} \dot{V}(x_1, x_2) \text{ with } \Xi = \{(x_1, x_2): V(x_1, x_2) = 1\}$$

## ۳- توصیف مدل ربات بازوی $n$ -درجه آزادی

### با غیرخطی‌سازهای ورودی و بیان مسئله ریدیابی

مدل جامع دینامیکی یک ربات بازوی  $n$ -درجه آزادی به فرم رابطه

$$(11) \quad \ddot{q} = [q_1 \ q_2 \ \dots \ q_n]^T \in \mathbb{R}^n \quad \text{قابل توصیف است که } q = [q_1 \ q_2 \ \dots \ q_n]^T \in \mathbb{R}^n \text{ میانگر}$$

متغیرهای پیکربندی ربات بوده و بردارهای  $\dot{q} \in \mathbb{R}^n$  و  $\ddot{q} \in \mathbb{R}^n$  به ترتیب مشتق مرتبه‌های اول و دوم  $q \in \mathbb{R}^n$  هستند. ماتریس  $\mathbf{M}(q) \in \mathbb{R}^{n \times n}$  اینرسی<sup>۱</sup> ربات می‌باشد که همواره متقابل و مثبت معین است.

$$\mathbf{M}(q)\ddot{q} + \mathbf{C}(q, \dot{q})\dot{q} + \mathbf{F}(q) = \mathbf{\phi}(u) + \tau_{dis} \quad (11)$$

در رابطه (۱۱)، ماتریس نیروهای کوریولیس و گریز از مرکز<sup>۲</sup> و بردار نیروهای گرانشی و جاذبه<sup>۳</sup> با نمادهای ماتریسی  $\mathbf{C}(q, \dot{q}) \in \mathbb{R}^{n \times n}$  و  $\mathbf{F}(q) \in \mathbb{R}^n$  معرفی شده‌اند. بردار  $\mathbf{\phi}(q) \in \mathbb{R}^n$  بیانگر نیروهای اصطکاکی موجود در مفاصل ربات است که توسط رابطه (۱۲) قابل توصیف می‌باشند. در رابطه (۱۲)،  $f_{ci}, f_{si}, \varepsilon_i, \sigma_i, i = 1, 2, \dots, n$  پارامترهای ثابت و معلوم هستند [۹].

$$\mathbf{F}(q) = [f_1(\dot{q}_1) \ f_2(\dot{q}_2) \ \dots \ f_n(\dot{q}_n)]^T$$

$$f_i(\dot{q}_i) = \left( f_{ci} + (f_{si} - f_{ci}) e^{-\left(\frac{\dot{q}_i}{\varepsilon_i}\right)^2} \right) \text{sign}(\dot{q}_i) + \sigma_i \dot{q}_i \quad (12)$$

with  $i = 1, 2, \dots, n$ . نماد برداری  $\tau_{dis} \in \mathbb{R}^n$  (بیان شده در (۱۱)) بیانگر نامعینی‌های موجود در مدل ربات می‌باشد که می‌توانند ناشی از عدم قطعیت‌های پارامتری، دینامیک‌های مدل نشده و گشتاورهای اغتشاش خارجی وارد به مفاصل ربات باشند. در سرتاسر مقاله، فرض ۱ همواره برای بردار نامعین  $\tau_{dis}$  برقرار می‌باشد.

### فرض ۱. نرم اقلیدسی بردار نامعین $\tau_{dis} \in \mathbb{R}^n$ همواره در رابطه

$$(13) \quad \lambda_h, \varpi_h, h = 0, 1, 2, \dots, n \quad \text{صدق می‌کند که ضرایب حقیقی مثبت } n \text{ همواره معلوم و در اختیارند.}$$

$$\|\tau_{dis}\| \leq \sum_{h=0}^n (\lambda_h \|q\|^h + \varpi_h \|\dot{q}\|^h) = \chi(\|q\|, \|\dot{q}\|) \quad (13)$$

$\|\tau_{dis}\| \leq \sum_{h=0}^n (\lambda_h \|q\|^h + \varpi_h \|\dot{q}\|^h) = \chi(\|q\|, \|\dot{q}\|)$  بردار گشتاورهای ورودی مفاصل است که نقش ورودی‌های کنترلی سیستم حلقه‌بسته ربات را دارند.  $\mathbf{u} = [u_1 \ u_2 \ \dots \ u_n]^T \in \mathbb{R}^n$  بردار  $\mathbf{\phi}(u) = [\phi_1(u_1) \ \phi_2(u_2) \ \dots \ \phi_n(u_n)]^T \in \mathbb{R}^n$  غیرخطی‌سازهای ورودی هستند که رابطه‌های (۱۴) و (۱۵) به ترتیب نحوه عملکرد غیرخطی‌سازهای شعاعی و ناحیه مرده را توصیف می‌کنند.  $\alpha_i u_i^2 \leq \phi_i(u_i) u_i \leq \beta_i u_i^2$  and  $\phi_i(0) = 0$  with  $i = 1, 2, \dots, n$ .

<sup>۱</sup> Coriolis and centripetal forces

<sup>۲</sup> Gravitational forces

<sup>۳</sup> Inertia matrix

<sup>۴</sup> Symmetric and positive definite matrix

## ۴- طراحی چهار دسته گشتاورهای غیرخطی مفاصل ربات بازوئی $n$ - درجه آزادی

با توجه به ویژگی‌های منحصر به فرد روش کنترل مد لغزشی ترمینال غیرتکین، از تعمیم این روش و تعریف خمینه‌های لغزشی غیرخطی جدید برای حل مسئله ردیابی زمان-محدود مقاوم ربات استفاده می‌شود. طراحی گشتاورهای ورودی مفاصل ربات با این روش غیرخطی از دو مرحله تشکیل شده است که عبارتند از: (الف) تعریف خمینه‌های لغزشی غیرخطی مناسب با هدف پایدارسازی زمان-محدود دینامیک مد لغزشی.

(ب) طراحی گشتاورهای غیرخطی ورودی به منظور رساندن متغیرهای حالت ربات  $n$ - درجه آزادی به دینامیک مد لغزشی در مدت زمان محدود [51, 53-55, 57-59].

در مرحله (الف) با استفاده از بردارهای خطاهای ردیابی، خمینه‌های لغزشی غیرخطی چنان تعریف می‌شوند که دینامیک مد لغزشی مرتبط با سیستم حلقه‌بسته‌ی ربات، دارای پایداری زمان-محدود با زمان محدود همگرایی  $T_s$  باشد. در مرحله (ب) گشتاورهای ورودی غیرخطی چنان طراحی می‌شوند تا بتوانند همه خطاهای ردیابی ربات را در زمان محدود  $T_r$  بر روی خمینه‌های لغزشی غیرخطی قرار دهند یا به عبارت دیگر گشتاورهای ورودی باید قادر باشند در زمان محدود  $T_r$  وجود دینامیک مد لغزشی را برای سیستم حلقه‌بسته‌ی ربات تضمین کنند. بنابراین بعد از زمان محدود کلی  $T_t = T_s + T_r$ ، هدف ردیابی زمان-محدود مقاوم ربات  $n$ - درجه آزادی که به صورت رابطه (۱۸) فرمول‌بندی شده است، برآورده می‌شود.

### ۱-۴ طراحی گشتاورهای ورودی با فرض غیرخطی ساز شاععی

زیربخش‌های ۱-۱-۴ و ۲-۱-۴ به ترتیب به طراحی دسته‌های اول و دوم از گشتاورهای ورودی ربات با فرض وجود غیرخطی سازهای شاععی اختصاص یافته‌اند.

#### ۱-۱-۴ طراحی دسته اول از گشتاورهای ورودی ربات

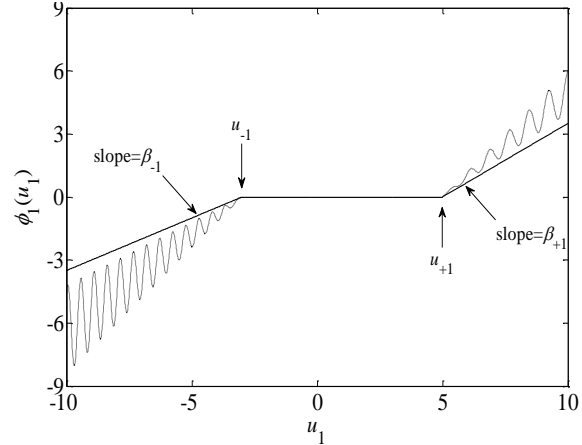
برای دسته اول از گشتاورهای ورودی، بردار خمینه‌های لغزشی غیرخطی  $s(t) = [s_1 \ s_2 \ \dots \ s_n]^T \in \mathbb{R}^n$  به صورت رابطه (۱۹) تعریف می‌شود که  $s_i(t) = [l_{1,i} \ l_{2,i} \ \dots \ l_{n,i}]^T$  اعداد حقیقی اختیاری با شرایط  $0 < l_{1,i} > l_{2,i}$  هستند.

$$\begin{aligned} s(t) &= M\theta, \quad \theta = e_{even} + \int_0^t l_1 \text{sign}(e_{odd}(\zeta)) d\zeta + \int_0^t l_2 \text{sign}(e_{even}(\zeta)) d\zeta \\ l_1 \text{sign}(e_{odd}) &= [l_{1,1} \text{sign}(e_1) \ l_{1,2} \text{sign}(e_2) \ \dots \ l_{1,n} \text{sign}(e_{2n-1})]^T \\ l_2 \text{sign}(e_{even}) &= [l_{2,1} \text{sign}(e_2) \ l_{2,2} \text{sign}(e_4) \ \dots \ l_{2,n} \text{sign}(e_{2n})]^T \end{aligned} \quad (19)$$

گشتاورهای ورودی (۲۰) برای تضمین دینامیک مد لغزشی به صورت زمان-محدود پیشنهاد می‌شوند که در این رابطه،  $(\|q\|, \|\dot{q}\|, \|\ddot{q}\|)$  همان‌کران بالای بردار نامعینی‌هاست (قبل از فرض ۱ معرفی شده است). علاوه بر این،  $\alpha_i, i = 1, 2, \dots, n$  همان اعداد حقیقی مثبت موجود در غیرخطی ساز شاععی رابطه (۱۶) هستند. در رابطه (۲۰)،  $\zeta_i > 1$  و  $\eta_0 \geq 0$  و  $\eta_1 \geq 0$  و  $\eta_2 \geq 0$  هستند که توسط طراح و کاربر تعیین می‌شوند. این اعداد حقیقی اختیاری هم بر روی انرژی کنترلی و هم بر روی زمان محدود مورد نیاز برای تضمین

متغیرهای پیکربندی مفاصل را در مدت زمان محدود  $T_t$  به طور کاملاً دقیق به بردار مسیرهای مورد نظر  $q_d(t)$  برسانند. فرض ۳ همواره برای بردار مسیرهای دلخواه  $q_d(t)$  برقرار است.

**فرض ۳.** بردار مسیرهای دلخواه  $q_d(t) \in \mathbb{R}^n$  همواره مشخص بوده و تمام درایه‌های آن توابعی هستند که حداقل تا دو بار پیوسته و مشتق‌پذیر می‌باشند. به عبارت دیگر، همواره فرض بر این است که  $\dot{q}_d(t) = [\dot{q}_{d_1} \ \dot{q}_{d_2} \ \dots \ \dot{q}_{d_n}]^T$  و  $\ddot{q}_d(t) = [\ddot{q}_{d_1} \ \ddot{q}_{d_2} \ \dots \ \ddot{q}_{d_n}]^T$  وجود دارد و می‌توانند در طراحی گشتاورهای ورودی ربات مورد استفاده قرار گیرند.



شکل ۲. تصویری از عملکرد تابع غیرخطی ساز ناحیه مرد  $u_1$  [48, 49] برای فرمول‌بندی مسئله ردیابی، دو بردار خطای  $e_{odd} \in \mathbb{R}^n$  و  $e_{even} \in \mathbb{R}^n$  به صورت رابطه (۱۶) تعریف می‌شوند.

$$\begin{aligned} e_{odd} &= [e_1 \ e_3 \ \dots \ e_{2n-1}]^T \\ &= [q_1 - q_{d_1} \ q_2 - q_{d_2} \ \dots \ q_n - q_{d_n}]^T \\ e_{even} &= [e_2 \ e_4 \ \dots \ e_{2n}]^T \\ &= [\dot{q}_1 - \dot{q}_{d_1} \ \dot{q}_2 - \dot{q}_{d_2} \ \dots \ \dot{q}_n - \dot{q}_{d_n}]^T \end{aligned} \quad (16)$$

با درنظر گرفتن دو بردار خطای تعریف شده و استفاده از مدل دینامیکی ربات  $n$ - درجه آزادی (۱۱)، سیستم دینامیکی مرتبط با خطاهای ردیابی مفاصل ربات به فرم رابطه (۱۷) حاصل می‌شود. بدیهی است که سیستم (۱۷) متشکل از  $n$  زیرسیستم غیرخطی مرتبه دوم است که همگی دارای اندرکنش متقابل هستند.

$$\begin{aligned} \dot{e}_{odd} &= e_{even} \\ \dot{e}_{even} &= -M^{-1}(C(q, \dot{q})\dot{q} + G(q) + F(\dot{q})) \\ &\quad + M^{-1}\phi(u) + M^{-1}\tau_{dis} - \ddot{q}_d \end{aligned} \quad (17)$$

با توجه به سیستم دینامیکی خطاهای ردیابی (۱۷)، مسئله ردیابی زمان-محدود مقاوم ربات به فرم (۱۸) بازنویسی می‌گردد. رابطه (۱۸) بیانگر این موضوع است که برای فراهم ساختن هدف ردیابی زمان-محدود مقاوم ذکر شده، گشتاورهای ورودی مفاصل ربات  $n$ - درجه آزادی باید به گونه‌ای طراحی گردد که بعد از زمان محدود  $T_t$ ، دو بردار خطای ردیابی  $e_{odd}$  و  $e_{even}$  به صفر همگرا شوند و برای زمان‌های  $t \geq T_t$  این دو بردار همواره صفر واقعی باشند. بنابراین، برآورده شدن هدف ردیابی زمان-محدود مقاوم ربات  $n$ - درجه آزادی معادل با برآورده شدن شرایط رابطه (۱۸) می‌باشد.

$$\begin{aligned} \lim_{t \rightarrow T_t} e_{odd} &= \mathbf{0}, \quad \text{and } e_{odd} = \mathbf{0} \text{ for } \forall t \geq T_t \\ \lim_{t \rightarrow T_t} e_{even} &= \mathbf{0}, \quad \text{and } e_{even} = \mathbf{0} \text{ for } \forall t \geq T_t \end{aligned} \quad (18)$$

تبديل کنند. در مرحله دوم، نشان داده می‌شود که دینامیک مدل لغزشی دارای پایداری زمان-محدود سرتاسری است و خطاهای ردیابی  $e_{2i-1}, e_{2i}, i = 1, 2, \dots, n$  که بر روی دینامیک مدل لغزشی قرار گرفته‌اند، بعد از زمان  $T_s$  به صفر واقعی می‌رسند. با جمع‌بندی این دو مرحله، اثبات می‌گردد که گشتاورهای ورودی  $V(t) = 0.5\|s\|^2 = 0.5s^T s$  در  $n$ -انتخاب  $V(t) = 0.5\|s\|^2 = 0.5s^T s$  که مشتق آن  $\dot{V}(t) = s^T(t)\dot{s}(t)$  به فرم رابطه (۲۴) قابل بیان است.

$$\dot{V} = s^T (\dot{\mathbf{M}}\boldsymbol{\theta} + \mathbf{M}(\dot{e}_{even} + l_1 \text{sign}(e_{odd}) + l_2 \text{sign}(e_{even}))) \quad (24)$$

جایگذاری  $e_{even}$  (از رابطه (۱۷)) در رابطه (۲۴)، به نامساوی رابطه (۲۵) خواهیم رسید.

$$\begin{aligned} \dot{V} &= s^T (\dot{\mathbf{M}}\boldsymbol{\theta} - \mathbf{C}(q, \dot{q})\dot{q} - \mathbf{F}(q) + \boldsymbol{\phi}(u)) \\ &\quad + s^T (\tau_{dis} - \mathbf{M}\dot{q}_d + \mathbf{M}l_1 \text{sign}(e_{odd}) + \mathbf{M}l_2 \text{sign}(e_{even})) \end{aligned} \quad (25)$$

با استفاده از نامساوی کوشی-شوآرتز<sup>۱</sup> و درنظر گرفتن فرض ۱ (یعنی  $(\|\tau_{dis}\|, \|\dot{q}\|) \leq \chi(\|q\|, \|q\|)$ )، تساوی رابطه (۲۵) به نامساوی رابطه (۲۶) تبدیل می‌شود.

$$\begin{aligned} \dot{V} &\leq \{s^T \boldsymbol{\phi}(u) + \|s\|(\|\dot{\mathbf{M}}\|\|\boldsymbol{\theta}\| + \|\mathbf{C}\|\|\dot{q}\| + \|\mathbf{F}\| + \|\boldsymbol{\phi}\| + \chi) \\ &\quad + \|s\|(\|\mathbf{M}\|(\|\dot{q}_d\| + \|l_1 \text{sign}(e_{odd})\| + \|l_2 \text{sign}(e_{even})\|))\} \end{aligned} \quad (26)$$

با توجه به تعریف  $\Pi_2$  (یعنی شده در رابطه (۲۰)، نامساوی (۲۶) به فرم ساده شده)  $\dot{V} \leq s^T \boldsymbol{\phi}(u) + \|s\|\Pi_2$  می‌شود. با درنظر گرفتن  $\Omega = \Omega - \Omega \sum_{i=1}^n \alpha_i \xi_i |s_i|$  (که اثبات آن در پیوست ۱ آمده است)، فرم ساده شده نامساوی (۲۶) به صورت نامساوی (۲۷) نتیجه می‌گردد.

$$\dot{V} \leq \|s\|\Omega - \|s\|\Pi_1 - \Omega \sum_{i=1}^n \alpha_i \xi_i |s_i| \quad (27)$$

با تعریف  $\mu = \min_i (\alpha_i \xi_i), i = 1, 2, \dots, n$  و در نظر گرفتن نامساوی  $-\sum_{i=1}^n |s_i| \leq -\|s\|$  (از رابطه (۲۷) به نامساوی (۲۸) تبدیل می‌شود).

$$\dot{V} \leq \|s\|\Omega(1 - \mu) - \|s\|\Pi_1 \quad (28)$$

از آنجایی که اعداد حقیقی دلخواه  $\xi_i, i = 1, 2, \dots, n$  با شرط  $\xi_i > 1/\alpha_i$  اختیار می‌شوند، بدیهی است که  $\mu = \min_i (\alpha_i \xi_i)$  همواره  $> 1$  بوده و درنتیجه ترم  $\|s\|\Omega(1 - \mu)$  همواره نامبیت خواهد بود. با درنظر گرفتن این موضوع، نامساوی (۲۸) به نامساوی  $\dot{V} \leq -\|s\|\Pi_1$  تبدیل می‌شود. در ادامه با جایگذاری  $s^T \boldsymbol{\phi}(u) = \eta_0 \|s\| + \eta_1 \|s\|^{h_1} + \eta_2 \|s\|^{h_2}$  (متابق با رابطه (۲۰)) و درنظر گرفتن تعریف کاندیدای لیپانوف  $V(t) = 0.5\|s\|^2$  نامساوی  $\dot{V} \leq -\|s\|\Pi_1$  به رابطه (۲۹) تبدیل می‌شود.

$$\dot{V} + 2\eta_0 V + \sqrt{2^{h_1+1}}\eta_1 V^{0.5(h_1+1)} + \sqrt{2^{h_2+1}}\eta_2 V^{0.5(h_2+1)} \leq 0 \quad (29)$$

با فرض  $\rho_2 = 0.5(h_1 + 1)$ ،  $\eta_0 = \eta_2 = \sqrt{2^{h_1+1}}\eta_1$  و انتخاب  $\varphi_1 = 0.5(h_1 + 1)$  استناد به لم ۱، می‌توان تنتیجه گرفت که  $(V(t) - s(t))$  در مدت زمان محدود  $T_r$  (که توسط (i) از رابطه (۲۱) ارائه شده است) به صفر همگرا می‌شوند و برای زمان‌های  $t \geq T_r$  وجود دینامیک مدل لغزشی  $s(t) = \mathbf{0}$  تضمین می‌گردد.

با فرض  $\rho_3 = \rho_2 = 0.5(h_1 + 1)$ ،  $\varphi_1 = \sqrt{2^{h_1+1}}\eta_1$  و انتخاب  $\eta_2 = 0$  تضمین

وجود دینامیک مدل لغزشی تاثیر بسزایی دارند. بدیهی است برای ربات  $n$ -درجه آزادی، تعداد کل پارامترهای اختیاری مرتبط با گشتاورهای دسته اول  $3n + 4$  است. قضیه ۱ نشان می‌دهد که گشتاورهای غیرخطی ورودی پیشنهاد شده با رابطه‌های (۱۹) و (۲۰)، می‌تواند هدف ردیابی زمان-محدود مقاوم را برای ربات  $n$ -درجه آزادی برآورد سازند.

$$u_i = -\xi_i \Omega \text{sign}(s_i), \text{with } i = 1, 2, \dots, n.$$

$$\begin{aligned} \Omega &= \Pi_1 + \Pi_2 \text{ and } \xi_i > (\alpha_i)^{-1} \\ \Pi_1 &= \eta_0 \|s\| + \eta_1 \|s\|^{h_1} + \eta_2 \|s\|^{h_2} \\ h_1 &= 1 - \zeta^{-1} \text{ and } h_2 = 1 + \zeta^{-1} \end{aligned} \quad (20)$$

$$\begin{aligned} \Pi_2 &= \chi + \|\dot{\mathbf{M}}\|\|\boldsymbol{\theta}\| + \|\mathbf{C}\|\|\dot{q}\| + \|\mathbf{G}\| + \|\mathbf{F}\| + \\ &\quad + \|\mathbf{M}\|(\|\dot{q}_d\| + \|l_1 \text{sign}(e_{odd})\| + \|l_2 \text{sign}(e_{even})\|) \end{aligned}$$

**قضیه ۱.** ربات بازوی  $n$ -درجه آزادی رابطه (۱۱) را همراه با غیرخطی‌سازهای ورودی شعاعی (۱۶) و فرض‌های ۱، ۲ و ۳ درنظر بگیرید. چنانچه گشتاورهای ورودی پیشنهاد شده با رابطه‌های (۱۹) و (۲۰) به مفاصل ربات (۱۱) اعمال شوند، آنگاه هدف ردیابی زمان-محدود مقاوم توصیف شده با رابطه (۱۸) برآورده شده و بدار متغیرهای پیکربندی مفاصل ( $t$ ) در مدت زمان محدود  $q(t) = T_r + T_s$  به طور کاملاً دقیق به بردار  $q_d(t)$  می‌رسد. به عبارت دیگر، برای زمان‌های  $t \geq T_r$  تساوی  $q(t) = q_d(t)$  برقرار می‌گردد. همچنین، دو زمان محدود  $T_r$  و  $T_s$  می‌توانند به ترتیب توسط نامساوی‌های (۲۱) و (۲۲) تعیین شوند.

$$\begin{aligned} (i): & \text{if } \eta_0 = \eta_2 = 0 \text{ then } T_r \leq (\eta_1(1 - h_1))^{-1} (\|s(0)\|)^{1-h_1} \\ (ii): & \text{if } \eta_2 = 0 \text{ then } T_r \leq (\eta_0(1 - h_1))^{-1} \left( \ln \left( \frac{\eta_0(\|s(0)\|)^{1-h_1} + \eta_1}{\eta_1} \right) \right) \\ (iii): & \text{if } \eta_0 = 0 \text{ then } T_r \leq \pi \zeta \left( \sqrt{2^{1+0.5(h_1+h_2)}} \eta_1 \eta_2 \right)^{-1} \end{aligned} \quad (21)$$

۹

$$T_s = \max_i (T_s), \text{with } i = 1, 2, \dots, n.$$

$$\begin{aligned} iT_s &\leq 2(\min(l_{4i}))^{-1} \sqrt{\Psi_i(e_{2i-1}(t = T_r), e_{2i}(t = T_r))} \\ \Psi_i &= \begin{cases} 0.25(l_{4i})^2(h_i)^2 & \text{if } e_{2i-1} e_{2i} \neq 0 \\ 0.25(\bar{l}_i)^2 e_{2i}^2 & \text{if } e_{2i-1} = 0 \\ 0.25|e_{2i-1}| & \text{if } e_{2i} = 0 \end{cases} \end{aligned} \quad (22)$$

$$\begin{aligned} h_i &= (l_{3i})^{-1} e_{2i} \text{sign}(e_{2i-1}) + l_{5i} \sqrt{|e_{2i-1}| + 0.5(l_{3i})^{-1} e_{2i}^2} \\ \left( \sqrt{2(l_{1i} + l_{2i})} \right)^{-1} &< \bar{l}_i < \left( \sqrt{2(l_{1i} - l_{2i})} \right)^{-1} \end{aligned}$$

در رابطه (۲۲)،  $\bar{l}_i$  از  $l_{4i}$  و  $l_{5i}$  و  $l_{3i}$  توسط رابطه (۲۳) تعیین می‌شوند. ■

$$\begin{aligned} l_{3i} &= l_{1i} + l_{2i} \text{sign}(e_{2i-1} e_{2i}) \\ l_{4i} &= \sqrt{0.5l_{3i} |\sqrt{2l_{3i}} \bar{l}_i - 1|} \end{aligned} \quad (23)$$

$$l_{5i} = \sqrt{2(l_{3i})^{-1} (\sqrt{2l_{3i}} \bar{l}_i - 1)^{-1}} \text{sign}(e_{2i-1} e_{2i})$$

**اثبات.** این اثبات دو مرحله‌ای بوده و در مرحله اول اثبات می‌شود که گشتاورهای ورودی پیشنهادی می‌توانند وجود دینامیک مدل لغزشی  $s(t) = \mathbf{0}$  را در زمان محدود  $T_r$  تضمین دهند. در این مرحله نشان داده می‌شود که گشتاورهای ورودی می‌توانند سیستم دینامیکی خطاهای رديابی (۱۷) را برای زمان‌های  $t \geq T_r$  به دینامیک مدل لغزشی  $s(t) = \mathbf{0}$  تضمین

<sup>۱</sup> Cauchy-Schwartz inequality

می‌دهد که گشتاورهای ورودی توصیف شده با رابطه‌های (۳۱)، (۲۰) و (۳۲)، می‌تواند هدف ریدایی زمان-محدود مقاوم را برای ربات  $n$ -درجه آزادی فراهم سازند.

**قضیه ۲.** ربات بازویی  $n$ -درجه آزادی رابطه (۱۱) را همراه با غیرخطی سازه‌ای ورودی شاععی (۱۴) و فرض‌های ۱، ۲ و ۳ در نظر بگیرید. چنانچه گشتاورهای ورودی طراحی شده با رابطه‌های (۳۱)، (۲۰) و (۳۲) به مفاصل ربات (۱۱) اعمال شوند، آنگاه هدف ریدایی زمان-محدود مقاوم توصیف شده با رابطه (۱۸) فراهم شده و بردار متغیرهای پیکربندی مفاصل ربات  $q(t)$  در مدت زمان محدود  $T_s = T_r + T_t$  به بردار  $q_d(t)$  می‌رسد. ربات  $q(t)$  به عبارت دیگر، برای زمان‌های  $t \geq T_r$  تساوی  $q(t) = q_d(t)$  برقرار می‌گردد. همچنین، دو زمان محدود  $T_r$  و  $T_s$  می‌توانند به ترتیب توسط نامساوی‌های (۲۱) و (۳۳) تعیین شوند.

$$\begin{aligned} T_s &= \max_i(T_s), \text{with } i = 1, 2, \dots, n \\ iT_s &\leq (\varpi_i(1 - o_i))^{-1}(3 - o_i)(\Psi_i(e_{2i-1}(t = T_r), e_{2i}(t = T_r)))^{\frac{1-o_i}{3-o_i}} \\ \Psi_i(e_{2i-1}, e_{2i}) &= \frac{2-o_i}{3-o_i} |Y_i(e_{2i-1}, e_{2i})|^{\frac{3-o_i}{2-o_i}} + \\ &\quad + \theta_{1i} e_{2i} Y_i(e_{2i-1}, e_{2i}) + \frac{\theta_{2i}}{3-o_i} |e_{2i}|^{3-o_i} \\ \varpi_i &= -\max_{(e_{2i-1}, e_{2i}) \in \Xi_i} \Psi_i(e_{2i-1}, e_{2i}) \\ \text{with } \Xi_i &= \{(e_{2i-1}, e_{2i}) : \Psi_i(e_{2i-1}, e_{2i}) = 1\} \end{aligned} \quad (33)$$

در رابطه (۳۳)  $\vartheta_{1i}, i = 1, 2, \dots, n$  و  $\vartheta_{2i}$  اعداد حقیقی اختیاری با شرایط  $\vartheta_{1i} < 0$  و  $\vartheta_{2i} > 1$  هستند. ■

**اثبات.** این اثبات مشابه با اثبات قضیه ۱، دو مرحله‌ای است و مرحله اول آن کاملاً با اثبات قبلی یکسان است. بنابراین فقط اثبات مرحله دوم ارائه می‌شود. در مرحله دوم اثبات، برای زمان‌های  $t, t \geq T_r$  دینامیک محدود لغزشی  $q(t) = 0$  به صورت رابطه (۳۴) نتیجه می‌شود که از  $n$  زیرسیستم غیرخطی مرتبه دوم بدون اندرکنش تشکیل شده است.

$$\begin{aligned} \dot{e}_{2i-1} &= e_{2i} \\ \dot{e}_{2i} &= -|e_{2i}|^{o_i} \text{sign}(e_{2i}) - |Y_i|^{o_i(2-o_i)^{-1}} \text{sign}(Y_i) \\ Y_i(e_{2i-1}, e_{2i}) &= e_{2i-1} + (2 - o_i)^{-1} |e_{2i}|^{(2-o_i)} \text{sign}(e_{2i}) \\ \text{with } i &= 1, 2, \dots, n \end{aligned} \quad (34)$$

با قیاس میان هر کدام از  $n$  زیرسیستم غیرخطی رابطه (۳۴) با سیستم غیرخطی مرتبه دوم موجود در لم ۵ (رابطه‌های (۵) و (۸)، پایداری زمان-محدود دینامیک مدل لغزشی (۳۴) مشخص می‌گردد و خطاهای ریدایی ربات که بر روی دینامیک مدل لغزشی قرار گرفته‌اند بعد از گذشت مدت زمان محدود  $T_s$  (که توسط رابطه (۳۳) توصیف می‌شود) به صفر واقعی همگرا می‌شوند. در آخر، با توجه به دو مرحله‌ی ذکر شده نتیجه می‌شود که بردار متغیرهای پیکربندی مفاصل  $q(t)$  در مدت زمان محدود  $T_s + T_r$  به بردار  $q_d(t)$  می‌رسد و شروط (۱۸) برآورده می‌گردد. اثبات قضیه ۲ در همینجا پایان می‌پذیرد. ■

## ۴-۲ طراحی گشتاورهای ورودی با فرض غیرخطی‌ساز ناحیه مرد

زیربخش‌های ۱-۲-۴ و ۲-۴-۲ به ترتیب به طراحی دسته‌های سوم و چهارم از گشتاورهای ورودی ربات با فرض وجود غیرخطی سازه‌ای ناحیه مرده اختصاص یافته‌اند.

و استناد به لم ۲، می‌توان نتیجه گرفت که  $V(t)$  و  $s(t)$  در مدت زمان محدود  $T_r$  (که توسط (ii) از رابطه (۲۱) ارائه شده است) به صفر همگرا می‌شوند و برای زمان‌های  $t \geq T_r$  وجود دینامیک مدل لغزشی  $s(t) = 0$  تضمین می‌گردد.

با فرض  $\eta = 0$  و انتخاب  $\zeta_1 = \rho_1 = \sqrt{2^{h_2+1}}\eta$ ،  $\rho_2 = \sqrt{2^{h_1+1}}\eta$ ،  $\rho_3 = \zeta$ ،  $\rho_4 = 0.5(h_2 + 1)$ ،  $\rho_5 = 0.5(h_1 + 1)$ ،  $\rho$ ،  $s(t)$  در مدت زمان محدود  $T_r$  (که توسط (iii) از رابطه (۲۱) ارائه شده است) به صفر همگرا می‌شوند و برای زمان‌های  $t \geq T_r$  وجود دینامیک مدل لغزشی  $s(t) = 0$  تضمین می‌گردد. در اینجا اثبات مرحله اول به پایان می‌رسد.

در مرحله دوم برای زمان‌های  $t \geq T_r$  سیستم دینامیکی خطاهای ریدایی (۱۷) به دینامیک مدل لغزشی  $s(t) = 0$  مطابق با رابطه (۳۰) تبدیل می‌شود که متشکل از  $n$  زیرسیستم غیرخطی مرتبه دوم منفک از هم است.

$$\begin{aligned} \dot{e}_{2i-1} &= e_{2i} \\ \dot{e}_{2i} &= -l_{1i} \text{sign}(e_{2i-1}) - l_{2i} \text{sign}(e_{2i}) \end{aligned} \quad (30)$$

with  $i = 1, 2, \dots, n$ .

مقایسه‌ی هر کدام از  $n$  زیرسیستم غیرخطی رابطه (۳۰) با سیستم غیرخطی مرتبه دوم موجود در لم ۴ (رابطه (۵)، پایداری زمان-محدود دینامیک مدل لغزشی (۳۰) را نتیجه می‌دهد. فلذا خطاهای ریدایی ربات قرار گرفته بر روی دینامیک مدل لغزشی، بعد از گذشت مدت زمان محدود  $T_s$  به صفر واقعی همگرا می‌شوند که  $T_s$  می‌تواند توسط رابطه (۲۲) تخمین زده شود. در انتها با استناد به دو مرحله‌ی ذکر شده می‌توان نتیجه گرفت که بردار متغیرهای پیکربندی موردنظر (۴) می‌رسد و هدف ریدایی زمان-محدود مقاوم (۱۸) برآورده می‌گردد. اثبات قضیه ۲ در همینجا پایان می‌پذیرد. ■

## ۴-۳ طراحی دسته دوم از گشتاورهای ورودی ربات

برای دسته دوم از گشتاورهای ورودی، بردار خمینه‌های لغزشی غیرخطی  $s(t) = [s_1 \ s_2 \ \dots \ s_n]^T \in \mathbb{R}^n$  به صورت رابطه (۳۱) تعریف می‌شود که در این رابطه،  $s_i, i = 1, 2, \dots, n$  اعداد حقیقی اختیاری با شرایط  $0 < o_i < 1$  هستند.

$$\begin{aligned} s &= M\theta, \text{with } i = 1, 2, \dots, n \\ \theta &= e_{even} + \int_0^t \text{sig}^o(e_{even}(\varsigma)) d\varsigma + \int_0^t \text{sig}^{o(2-o)^{-1}}(Y(\varsigma)) d\varsigma \\ Y_i(e_{2i-1}, e_{2i}) &= e_{2i-1} + (2 - o_i)^{-1} |e_{2i}|^{(2-o_i)} \text{sign}(e_{2i}) \\ \text{sig}^o(e_{even}) &= \begin{bmatrix} |e_2|^{o_1} \text{sign}(e_2) \\ |e_4|^{o_2} \text{sign}(e_4) \\ \vdots \\ |e_{2n}|^{o_n} \text{sign}(e_{2n}) \end{bmatrix} \\ \text{sig}^{o(2-o)^{-1}}(Y) &= \begin{bmatrix} |Y_1|^{o_1(2-o_1)^{-1}} \text{sign}(Y_1) \\ |Y_2|^{o_2(2-o_2)^{-1}} \text{sign}(Y_2) \\ \vdots \\ |Y_n|^{o_n(2-o_n)^{-1}} \text{sign}(Y_n) \end{bmatrix} \end{aligned} \quad (31)$$

گشتاورهای ورودی مقاوم برای تضمین زمان-محدود دینامیک مدل لغزشی به صورت همان رابطه (۲۰) پیشنهاد می‌شوند با این تفاوت که  $\Pi_2$  به صورت رابطه (۳۲) اصلاح می‌گردد.

$$\Pi_2 = \chi + \|\dot{M}\| \|\theta\| + \|C\| \|\dot{q}\| + \|G\| + \|F\| + \|\mathbf{M}\| (\|\dot{q}_d\| + \|\text{sig}^o(e_{odd})\| + \|\text{sig}^{o(2-o)^{-1}}(Y)\|) \quad (32)$$

شایان ذکر است که برای ربات  $n$ -درجه آزادی، تعداد کلی پارامترهای آزاد مرتبه با گشتاورهای دسته دوم  $4n + 2$  است. قضیه ۲ نشان

دوم قضیه ۱ یکسان است. بنابراین اثبات قضیه ۳ در همینجا پایان می‌پذیرد ■

#### ۴-۲-۲ طراحی دسته چهارم از گشتاورهای ورودی ربات

برای دسته چهارم از گشتاورهای ورودی، بردار خمینه‌های لغزشی غیرخطی  $s(t) \in \mathbb{R}^n$  به صورت همان رابطه (۳۱) تعریف می‌شود. گشتاورهای ورودی مقاوم برای تضمین دینامیک مدل لغزشی به صورت زمان-محدود در متوسط رابطه (۳۵) پیشنهاد می‌شوند که  $\Pi_2$  نیز به صورت رابطه (۳۲) اصلاح شده باشد. شایان ذکر است که برای ربات  $n$ -درجه آزادی، تعداد کلی پارامترهای آزاد مرتبط با گشتاورهای دسته چهارم  $2n + 4$  است. قضیه ۴ نشان می‌دهد که گشتاورهای ورودی پیشنهادی شده با رابطه‌های (۳۱)، (۳۵) و (۳۲)، می‌توانند هدف ریاضی زمان-محدود مقاوم را برای ربات  $n$ -درجه آزادی فراهم سازند.

قضیه ۴. ربات بازوی  $n$ -درجه آزادی رابطه (۱۱) را همراه با غیرخطی‌سازهای ورودی ناحیه مرده (۱۵) و فرض‌های ۱، ۲ و ۳ درنظر بگیرید. چنانچه گشتاورهای ورودی پیشنهادشده با رابطه‌های (۳۱)، (۳۵) و (۳۲) به مفاصل ربات (۱۱) اعمال شوند، آنگاه هدف ریاضی زمان-محدود مقاوم توصیف شده با رابطه (۱۸) برآورده شده و بردار متغیرهای پیکربندی مفاصل  $q(t)$  در مدت زمان محدود  $T_t = T_r + T_s$  به بردار  $q(t)$  می‌رسد. به عبارت دیگر، برای زمان‌های  $t \geq t_{\text{تساوی}} = q_d(t)$  برقرار می‌گردد. همچنین، دو زمان محدود  $T_r$  و  $T_s$  می‌توانند به ترتیب توسط نامساوی‌های (۲۱) و (۳۳) تعیین شوند.

اثبات. مشابه با اثبات قضیه‌های قبلی، این اثبات نیز دو مرحله‌ای است. مرحله اول این اثبات اخیر، کاملاً با اثبات مرحله اول قضیه ۳ یکسان است. هم‌چنین، مرحله دوم این اثبات نیز کاملاً با اثبات مرحله دوم قضیه ۲ همانند است. بنابراین اثبات قضیه ۴ در همینجا پایان می‌پذیرد ■

### ۵- نتایج شبیه‌سازی‌های کامپیوتوری بر روی مدل ربات چهار درجه آزادی SCARA

برای انجام شبیه‌سازی‌ها، از یک مدل بازوی ربات ضعیتی به نام SCARA [۹] استفاده خواهد شد که دارای چهار درجه آزادی است. شکل ۳ تصویری از این ربات صنعتی را همراه با دستگاه‌های مختصات مفاصل نشان می‌دهد که دستگاه‌ها با توجه به قرارداد DH<sup>۱</sup> تعیین شده‌اند و برای نوشتن معادلات سینماتیکی و دینامیکی مورد استفاده قرار می‌گیرند. شکل ۳ نشان می‌دهد ربات SCARA از چهار مفصل تشکیل شده که دو مفصل اول از نوع چرخشی بوده و حرکت در صفحه افقی را به وجود می‌آورند. مفصل سوم این بازوی رباتی از نوع انتقالی بوده و حرکت خطی را در راستای محور عمود بر صفحه افقی ایجاد می‌کند. مفصل چهارم که لیکن سوم را به مجری نهایی متصل می‌کند، از نوع چرخشی بوده و باعث چرخش مجری نهایی حول محور عمود بر صفحه افقی می‌گردد [۹]. برای این ربات، بردار متغیرهای پیکربندی مفاصل به فرم  $q(t) = [q_1(t) \ q_2(t) \ q_3(t) \ q_4(t)]^T$  است که  $q_1$  و  $q_2$  جابجایی‌های زاویه‌ای مفصل‌های اول و دوم حول محورهای عمودی  $z_1, z_2, z_3$

#### ۱-۴-۲ طراحی دسته سوم از گشتاورهای ورودی ربات

برای دسته سوم از گشتاورهای ورودی، بردار خمینه‌های لغزشی غیرخطی  $s(t) \in \mathbb{R}^n$  به صورت کاملاً یکسان با رابطه (۱۹) تعریف می‌شود. گشتاورهای غیرخطی ورودی (۳۵) برای تضمین دینامیک مدل لغزشی به صورت زمان-محدود پیشنهاد می‌شوند که در این رابطه،  $\beta_{+i}, \beta_{-i}, u_{-i}, u_{+i}, i = 1, 2, \dots, n$  همان اعداد حقیقی مثبت موجود در غیرخطی‌ساز ناحیه مرده رابطه (۱۵) هستند.

$$\begin{aligned} u_i &= \begin{cases} -\xi_i \Omega \text{sign}(s_i) + u_{-i} & \text{if } s_i > 0 \\ 0 & \text{if } s_i = 0 \\ -\xi_i \Omega \text{sign}(s_i) + u_{+i} & \text{if } s_i < 0 \end{cases}, i = 1, 2, \dots, n. \\ \Omega &= \Pi_1 + \Pi_2, \text{with } \xi_i > (\min(\beta_{+i}, \beta_{-i}))^{-1} = (\beta_i^*)^{-1} \\ h_1 &= 1 - \zeta^{-1} \text{ and } h_2 = 1 + \zeta^{-1} \\ \Pi_1 &= \eta_0 \|s\| + \eta_1 \|s\|^{h_1} + \eta_2 \|s\|^{h_2} \\ \Pi_2 &= \chi + \|\mathbf{M}\| \|\boldsymbol{\theta}\| + \|\mathbf{C}\| \|\dot{\mathbf{q}}\| + \|\mathbf{G}\| + \|\mathbf{F}\| + \\ &\quad + \|\mathbf{M}\| (\|\dot{\mathbf{q}}_d\| + \|l_1 \text{sign}(e_{\text{odd}})\| + \|l_2 \text{sign}(e_{\text{even}})\|) \end{aligned} \quad (35)$$

در رابطه (۳۵)،  $\zeta, \eta_0, \eta_1, \eta_2$  و  $\chi$  اعداد حقیقی اختیاری با شرایط  $\zeta > 1, \min(\beta_{+i}, \beta_{-i})^{-1} > 1, \eta_1 \geq 0, \eta_2 \geq 0$  هستند. واضح است که برای ربات  $n$ -درجه آزادی، تعداد کل پارامترهای اختیاری مرتبط با گشتاورهای دسته سوم ۳  $n + 4$  است. قضیه ۳ نشان می‌دهد که گشتاورهای ورودی پیشنهادی با رابطه‌های (۱۹) و (۳۵)، می‌توانند هدف ریاضی زمان-محدود مقاوم را برای ربات  $n$ -درجه آزادی برآورده سازند.

قضیه ۳. ربات بازوی  $n$ -درجه آزادی رابطه (۱۱) را همراه با غیرخطی‌سازهای ورودی ناحیه مرده (۱۵) و فرض‌های ۱، ۲ و ۳ درنظر بگیرید. چنانچه گشتاورهای ورودی پیشنهادشده با رابطه‌های (۱۹) و (۳۵) به مفاصل ربات (۱۱) اعمال شوند، آنگاه هدف ریاضی زمان-محدود مقاوم به مفاصل ربات (۱۱) اعمال شوند، آنگاه هدف ریاضی زمان-محدود مقاوم توصیف شده با رابطه (۱۸) برآورده شده و بردار متغیرهای پیکربندی مفاصل  $q(t)$  در مدت زمان محدود  $T_t = T_r + T_s$  به بردار  $q_d(t)$  می‌رسد. به عبارت دیگر، برای زمان‌های  $t \geq t_{\text{تساوی}} = q_d(t)$  برقرار  $q(t) = q_d(t)$  می‌گردد. هم‌چنین، دو زمان محدود  $T_r$  و  $T_s$  می‌توانند به ترتیب توسط نامساوی‌های (۲۱) و (۲۲) تعیین شوند.

اثبات. این اثبات مشابه با اثبات قضیه‌های ۱ و ۲، دو مرحله‌ای است. مرحله اول اثبات روندی مشابه با اثبات مرحله اول قضیه‌های ۱ و ۲ دارد. با طی کردن فرآیندی کاملاً یکسان با مرحله اول دو اثبات قبلی، نامساوی  $\Omega = \Pi_1 + \Pi_2 \leq s^T \phi(u) + \|\mathbf{s}\| \|\Pi_2\| \leq \mathcal{V}$  حاصل می‌شود. با استفاده از  $\Omega = \Pi_1 + \Pi_2 \leq s^T \phi(u) + \|\mathbf{s}\| \|\Pi_2\| \leq \mathcal{V}$  (که اثبات آن در پیوست ۲ آمده است)، نامساوی  $(\sum_{i=1}^n \beta_i^* \xi_i |s_i|) \leq -\Omega \sum_{i=1}^n \beta_i^* \xi_i |s_i| \leq (\|\mathbf{s}\| \Omega - \|\mathbf{s}\| \|\Pi_1\| - \Omega \sum_{i=1}^n \beta_i^* \xi_i |s_i|) \leq \mathcal{V}$  می‌شود. با استفاده از  $\Delta = \min_i (\beta_i^* \xi_i), i = 1, 2, \dots, n$  و  $\Delta = \min_i (\beta_i^* \xi_i), i = 1, 2, \dots, n$  درنظر گرفتن  $\mathcal{V} \leq -(\|\mathbf{s}\| \Omega - \sum_{i=1}^n \beta_i^* \xi_i |s_i|)$ ، نامساوی اخیر برای  $\mathcal{V}$  به فرم ساده شده  $(\|\mathbf{s}\| \Pi_1 - \|\mathbf{s}\| \Omega)(1 - \Delta) \leq \mathcal{V}$  تبدیل می‌شود. از آنجایی که اعداد حقیقی دلخواه  $\xi_i$  با شرط  $1/\beta_i^* \xi_i > \Delta$  انتخاب می‌شوند،  $\|\mathbf{s}\| \Omega(1 - \Delta) = \Delta$  همواره  $1 > \Delta$  بوده و درنتیجه ترم  $(\|\mathbf{s}\| \Omega(1 - \Delta) - \|\mathbf{s}\| \Pi_1)$  همواره نامثبت خواهد بود. با اعمال این موضوع، نامساوی  $\mathcal{V} \leq -\|\mathbf{s}\| \Pi_1$  برای  $\mathcal{V}$  حاصل می‌شود. ادامه اثبات مرحله اول این قضیه با اثبات مرحله اول قضیه ۱ کاملاً یکسان است. اثبات مرحله دوم نیز دقیقاً با اثبات مرحله

<sup>۱</sup> Denavit-Hartenberg

مقادیر عددی مرتبط با پارامترهای فیزیکی  $m_i, i = d_i, i = 1, 2, 3, 4$   
 $a_{c_1}, a_{c_2}$  و  $a_1, a_2$  در جدول ۱ آورده شده‌اند.

برای ربات صنعتی SCARA، بردار گشتاور اصطکاکی مفاصل به فرم  $f_i(q_i), i$  است که  $\mathbf{F}(q) = [f_1(q_1) \ f_2(q_2) \ f_3(q_3) \ f_4(q_4)]^T$  ۱, ۲, ۳, ۴ از رابطه (۱۲) تعیین می‌شوند. جدول ۲، شانزده ضرایب ثابت مرتبط با چهار گشتاور اصطکاکی ربات SCARA را نشان می‌دهد. در تمام شبیه‌سازی‌های مرتبط با این بخش از مقاله، شرایط اولیه برای ربات SCARA، بردار نامعینی‌ها و بردار مسیرهای دلخواه به فرم رابطه (۳۸) درنظر گرفته شده‌اند. با توجه این  $\tau_{dis}$  و استناد به فرض ۱،  $\chi(\|q\|, \|q\|, \|q\|) = 0.6 + 0.2\|q\| + 0.15\|\dot{q}\|$  به فرم گرفته شده‌اند. با توجه این  $\tau_{dis}$  و استناد به فرض ۱،  $\chi(\|q\|, \|q\|, \|q\|) = 0.6 + 0.2\|q\| + 0.15\|\dot{q}\|$  نتیجه می‌گردد.

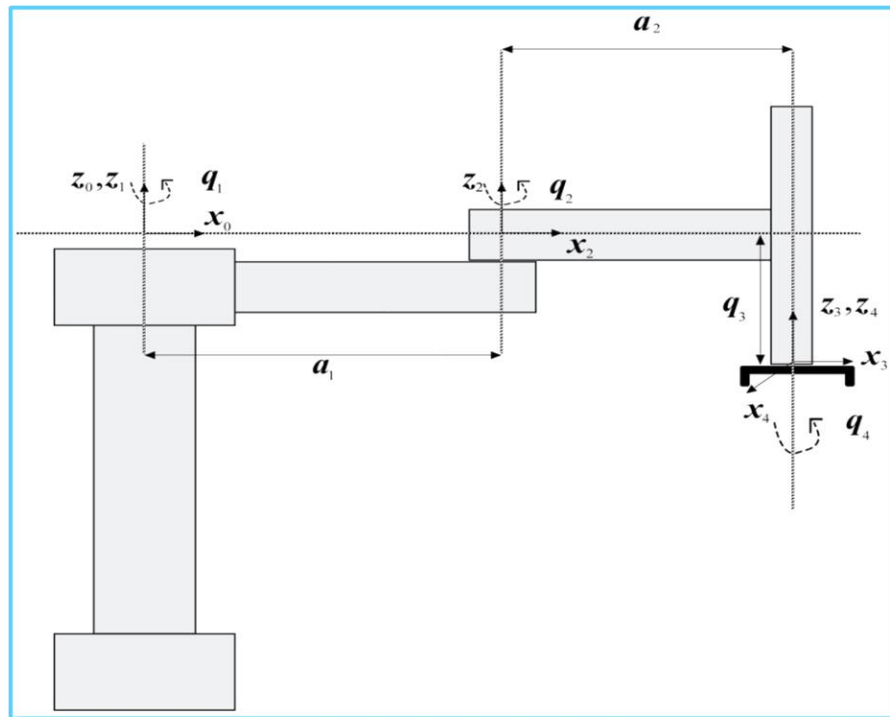
$$\begin{aligned} q(0) &= \left[ \frac{\pi}{5} \quad \frac{\pi}{4} \quad 0.05 \quad \frac{\pi}{2} \right]^T \\ \dot{q}(0) &= [0 \quad 0 \quad 0 \quad 0]^T \\ \tau_{dis} &= 0.2q + 0.15\dot{q} + \\ &+ [0.1\sin(6t) \quad 0.15\sin(4\pi t) \quad 0.2\sin(5t) \quad 0.15\sin(5\pi t)]^T \\ q_d(t) &= \left[ \frac{\pi}{6}\sin(t) \quad \frac{\pi}{8}\cos(2t) \quad 0.15 \quad \frac{\pi}{6} \right]^T \end{aligned} \quad (۳۸)$$

جابجایی خطی مفصل سوم در راستای محور  $z_3$  و  $q_4$  جابجایی زاویه‌ای مجری نهایی حول محور  $z_4$  می‌باشد. مدل دینامیکی این ربات دقیقاً از رابطه (۱۱) تبعیت می‌کند که ماتریس‌های  $\mathbf{M}(q)$ ,  $\mathbf{C}(q, \dot{q})$  و  $\mathbf{G}(q)$  با رابطه (۳۶) بیان شده‌اند.

$$\begin{aligned} \mathbf{M}(q) &= \begin{bmatrix} p_1 + p_2\cos(q_2) & p_3 + 0.5p_2\cos(q_2) & 0 & -p_5 \\ p_3 + 0.5p_2\cos(q_2) & p_3 & 0 & -p_5 \\ 0 & 0 & p_4 & 0 \\ -p_5 & -p_5 & 0 & p_5 \end{bmatrix} \\ \mathbf{C}(q, \dot{q}) &= \begin{bmatrix} -0.5p_2\dot{q}_2\sin(q_2) & -0.5p_2(\dot{q}_1 + \dot{q}_2)\sin(q_2) & 0 & 0 \\ 0.5p_2\dot{q}_1\sin(q_2) & 0 & 0 & 0 \\ 0 & 0 & 0 & 0 \\ 0 & 0 & 0 & 0 \end{bmatrix} \\ \mathbf{G}(q) &= \begin{bmatrix} 0 \\ 0 \\ 0 \\ -9.8p_4 \end{bmatrix} \end{aligned} \quad (۳۶)$$

شایان ذکر است که  $p_5$  در رابطه (۳۷) معرفی شده‌اند.

$$\begin{aligned} p_1 &= m_1a_1^2 + m_2(a_1^2 + a_2^2) + (m_3 + m_4)(a_1^2 + a_2^2) + \sum_{i=1}^4 I_i \\ p_2 &= 2a_1a_2m_2 + 2a_1a_2(m_3 + m_4) \\ p_3 &= m_2a_2^2 + a_2^2(m_3 + m_4) + \sum_{i=2}^4 I_i \\ p_4 &= (m_3 + m_4), p_5 = I_4 \end{aligned} \quad (۳۷)$$



شکل ۳. تصویری از بازوی ربات صنعتی چهار درجه آزادی SCARA همراه با دستگاه‌های مختصات تعیین شده برای مفاصل ربات [۹].

جدول ۱. مقادیر عددی پارامترهای فیزیکی ربات ضنعتی [۹] SCARA

مقدار عددی	معرفی فیزیکی	پارامتر فیزیکی	مقدار عددی	پارامتر فیزیکی	معرفی فیزیکی
<b>۰.۰۲۸۷<math>m_1</math> (kg.m<sup>2</sup>)</b>	ممان اینرسی لینک اول	$m_1$	۱۵ (kg)	$I_1$	جرم لینک اول
<b>۰.۰۸<math>m_2</math> (kg.m<sup>2</sup>)</b>	ممان اینرسی لینک دوم	$m_2$	۱۲ (kg)	$I_2$	جرم لینک دوم
<b>۰.۰۵ (kg.m<sup>2</sup>)</b>	ممان اینرسی لینک سوم	$m_3$	۳ (kg)	$I_3$	جرم لینک سوم
<b>۰.۰۲<math>m_4</math> (kg.m<sup>2</sup>)</b>	ممان اینرسی لینک چهارم	$m_4$	۳ (kg)	$I_4$	جرم لینک چهارم
<b>۰.۴ (m)</b>	طول لینک دوم	$a_1$	۰.۵ (m)	$a_2$	طول لینک اول
<b>۰.۲ (m)</b>	فاصله مرکز جرم لینک اول از مفصل دوم	$a_{c_1}$	۰.۲۵ (m)	$a_{c_2}$	فاصله مرکز جرم لینک دوم از مفصل دوم

جدول ۲. مقادیر عددی مرتبط با ضرایب ثابت گشتاورهای اصطکاکی مقاصل ربات صنعتی SCARA [۹].

ضرایب ثابت گشتاورهای اصطکاکی	مقدار عددی	ضرایب ثابت گشتاورهای اصطکاکی	مقدار عددی
$f_{c_1}$	۰.۴۹ ( $N \cdot m$ )	$f_{c_3}$	<b>۰.۱ (<math>N</math>)</b>
$f_{s_1}$	۳.۵ ( $N \cdot m$ )	$f_{s_3}$	<b>۱.۶۵ (<math>N</math>)</b>
$\sigma_1$	۰.۱۵ ( $kg \cdot m/s$ )	$\sigma_3$	<b>۰.۰۸ (<math>kg/s</math>)</b>
$\varepsilon_1$	۰.۱۹ ( $rad/s$ )	$\varepsilon_3$	<b>۰.۱۲ (<math>m/s</math>)</b>
$f_{c_2}$	۰.۳۱ ( $N \cdot m$ )	$f_{c_4}$	<b>۰.۱ (<math>N \cdot m</math>)</b>
$f_{s_2}$	۲.۸ ( $N \cdot m$ )	$f_{s_4}$	<b>۰.۷ (<math>N \cdot m</math>)</b>
$\sigma_2$	۰.۱۲ ( $kg \cdot m/s$ )	$\sigma_4$	<b>۰.۰۳ (<math>kg \cdot m/s</math>)</b>
$\varepsilon_2$	۰.۱۵ ( $rad/s$ )	$\varepsilon_4$	<b>۰.۰۳ (<math>rad/s</math>)</b>

$$\begin{aligned} o_1 = o_2 = o_3 = o_4 &= 0.1 \\ l_{2_1} = l_{2_2} = l_{2_3} &= 8, l_{2_4} = 9.9 \\ \xi_1 = \xi_2 = \xi_3 &= 1, \xi_4 = 1.1, \\ \zeta &= 10, \eta_0 = 0, \eta_1 = \eta_2 = 5 \end{aligned} \quad (41)$$

شکل ۶، پاسخ‌های زمانی متغیرهای پیکربندی مقاصل ربات SCARA را با فرض اعمال گشتاورهای پیشنهادی (۳۱)، (۲۰) و (۳۲) و در نظر گرفتن غیرخطی‌سازهای ورودی شعاعی (۳۹) نشان می‌دهد. این شکل به وضوح نشان می‌دهد بعد از زمان محدود (sec) ۳.۷۵، متغیرهای پیکربندی مقاصل ربات به مسیرهای دلخواه رسیده‌اند. شکل ۷، پاسخ‌های زمانی گشتاورهای غیرخطی ورودی دسته دوم را ارائه می‌دهد.

### ۵-۳ نتایج شبیه‌سازی دسته سوم از گشتاورهای ورودی

در شبیه‌سازی این زیربخش، گشتاورهای ورودی پیشنهادی رابطه‌های (۱۹) و (۳۵) به ربات SCARA اعمال شده‌اند. چهار غیرخطی‌ساز ناحیه مرده در مسیر گشتاورهای ورودی به فرم رابطه (۴۲) در نظر گرفته شده‌اند. بنابراین با مقایسه با رابطه (۱۴)، ضرایب  $\alpha_i, i = 1, 2, 3, 4$  به صورت  $\alpha_1 = \alpha_4$  با مقایسه با رابطه (۱۶)،  $\alpha_1, i = 1, 2, 3, 4$  به صورت  $\alpha_1 = 2.8, \alpha_2 = 1.9, \alpha_3 = 1.35, \alpha_4 = 1$  نتیجه می‌شوند.

$$\begin{aligned} \phi_1(u_1) &= \begin{cases} (u_1 - 3)(1 - 0.2 \sin(u_1)) & \text{if } 3 < u_1 \\ 0 & \text{if } -2 \leq u_1 \leq 3 \\ (u_1 + 2)(0.8 - 0.2 \cos(u_1)) & \text{if } u_1 < -2 \end{cases} \\ \phi_2(u_2) &= \begin{cases} (u_2 - 2)(0.7 - 0.2 \cos(u_2)) & \text{if } 2 < u_2 \\ 0 & \text{if } -1 \leq u_2 \leq 2 \\ (u_2 + 1)(0.4 + 0.2 \sin(u_2)) & \text{if } u_2 < -1 \end{cases} \\ \phi_1(u_1) &= \phi_3(u_3), \phi_2(u_2) = \phi_4(u_4) \end{aligned} \quad (42)$$

$$\begin{aligned} \beta_{+1} = \beta_{+3} &= 0.8, \beta_{-1} = \beta_{-3} = 0.6 \\ \beta_{+2} = \beta_{+4} &= 0.5, \beta_{-2} = \beta_{-4} = 0.2 \\ u_{+1} = u_{+3} &= 3, u_{-1} = u_{-3} = -2 \\ u_{+2} = u_{+4} &= 2, u_{-2} = u_{-4} = -1 \end{aligned} \quad (43)$$

مقادیر اختیار شده برای پارامترهای آزاد گشتاورهای ورودی دسته سوم در رابطه (۴۴) آورده شده است.

$$\begin{aligned} l_{1_1} = l_{1_2} = l_{1_3} &= l_{1_4} = 10 \\ l_{2_1} = l_{2_2} = l_{2_3} &= 8, l_{2_4} = 9.9 \\ \xi_1 = \xi_3 &= 2, \xi_2 = \xi_4 = 6 \\ \zeta &= 10, \eta_0 = 0, \eta_1 = \eta_2 = 5 \end{aligned} \quad (44)$$

شکل ۸، پاسخ‌های زمانی متغیرهای پیکربندی ربات صنعتی را با فرض اعمال گشتاورهای پیشنهادی (۱۹) و (۳۵) و در نظر گرفتن غیرخطی‌سازهای ورودی شعاعی (۳۹) نشان می‌دهد. با کمی دقت در این شکل، می‌توان دید که بعد از زمان محدود (sec) ۲.۳۵، چهار متغیر پیکربندی ربات به مسیرهای مورد نظر رسیده‌اند. شکل ۹، پاسخ‌های زمانی گشتاورهای غیرخطی ورودی دسته اول را به تصویر کشیده است.

در تمامی شبیه‌سازی‌ها از تابع هموار  $\frac{2}{\pi} \arctan(100s)$  به جای تابع علامت استفاده شده است تا پدیده چترینگ (وزوز) کاهش یابد. در ادامه، چهار دسته گشتاورهای ورودی پیشنهادی به طور جداگانه بر روی ربات SCARA مورد شبیه‌سازی قرار می‌گیرند و زیربخش‌های ۱، ۵-۳ و ۴-۵ به ترتیب نتایج شبیه‌سازی‌های مرتبط با دسته اول تا چهارم از گشتاورهای غیرخطی ورودی را ارائه می‌دهند.

### ۵-۱ نتایج شبیه‌سازی دسته اول از گشتاورهای ورودی

در شبیه‌سازی این زیربخش، گشتاورهای ورودی پیشنهادی رابطه‌های (۱۹) و (۲۰) به ربات SCARA اعمال شده‌اند. چهار غیرخطی‌ساز شعاعی در مسیر گشتاورهای ورودی به فرم رابطه (۳۹) در نظر گرفته شده‌اند. بنابراین با مقایسه با رابطه (۱۶)، ضرایب  $\alpha_i, i = 1, 2, 3, 4$  به صورت  $\alpha_1 = 2.8, \alpha_2 = 1.9, \alpha_3 = 1.35, \alpha_4 = 1$  نتیجه می‌شوند.

$$\begin{aligned} \phi_1(u_1) &= (3 + 0.2 \sin(u_1))u_1 \\ \phi_2(u_2) &= (2 + 0.1 \sin(u_2))u_2 \\ \phi_3(u_3) &= (1.5 + 0.15 \sin(u_3))u_3 \\ \phi_4(u_4) &= (1.1 + 0.1 \cos(u_4))u_4 \end{aligned} \quad (39)$$

مقادیر انتخابی برای پارامترهای حقیقی و آزاد گشتاورهای ورودی دسته اول در رابطه (۴۰) آورده شده است.

$$\begin{aligned} l_{1_1} = l_{1_2} &= l_{1_3} = l_{1_4} = 10 \\ l_{2_1} = l_{2_2} &= l_{2_3} = 8, l_{2_4} = 9.9 \\ \xi_1 = \xi_2 = \xi_3 &= 1, \xi_4 = 1.1 \\ \zeta &= 10, \eta_0 = 0, \eta_1 = \eta_2 = 5 \end{aligned} \quad (40)$$

شکل ۴، پاسخ‌های زمانی متغیرهای پیکربندی ربات صنعتی را با فرض اعمال گشتاورهای پیشنهادی (۱۹) و (۲۰) و در نظر گرفتن غیرخطی‌سازهای ورودی شعاعی (۳۹) نشان می‌دهد. با کمی دقت در این شکل، می‌توان دید که بعد از زمان محدود (sec) ۲.۳۵، چهار متغیر پیکربندی ربات به مسیرهای مورد نظر رسیده‌اند. شکل ۵، پاسخ‌های زمانی گشتاورهای غیرخطی ورودی دسته اول را به تصویر کشیده است.

### ۵-۲ نتایج شبیه‌سازی دسته دوم از گشتاورهای ورودی

در شبیه‌سازی این زیربخش، برای به حرکت در آوردن مقاصل ربات صنعتی SCARA گشتاورهای ورودی پیشنهادی رابطه‌های (۳۱)، (۳۲) و (۳۳) اعمال شده‌اند. چهار غیرخطی‌ساز شعاعی در مسیر گشتاورهای ورودی به فرم همان رابطه (۳۹) در نظر گرفته شده‌اند. مقادیر انتخابی برای پارامترهای آزاد گشتاورهای ورودی دسته اول در رابطه (۴۱) آورده شده است.

غیرخطی کنترل مد لغزشی ترمیナル و تعریف خمینه‌های لغزشی ابتکاری، چهار دسته‌ی مجزا از گشتاورهای غیرخطی ورودی پیشنهاد شدند تا متغیرهای پیکربندی ربات را در زمان‌های محدود قابل تطبیق به مسیرهای دلخواه از قبل طراحی شده برسانند. برای هر دسته از گشتاورهای ورودی  $n$ -درجه آزادی به صورت تحلیلی به اثبات رسید و رابطه‌ای به فرم نامساوی برای تخمین زمان محدود همگرایی استخراج شد. نتایج شبیه‌سازی عددی بر روی ربات صنعتی SCARA نشان داد که هر چهار دسته گشتاورهای ورودی پیشنهادی می‌توانند هدف ریدیابی ذکر شده را به خوبی فراهم سازند.

به عنوان اولین گام در راستای کارهای آینده، پارامترهای عددی مدل نیروهای اصطکاک، ثابت‌های عددی موجود در غیرخطی سازهای ورودی (شاععی و ناحیه مرده) و ضرایب عددی کران بالای بردار نامعینی‌ها را نامعلوم (اما نامغایی‌باز زمان) درنظر گرفته و با بکارگیری روش کنترل مد لغزشی ترمیナル-طبقیقی، گشتاورهای ورودی پیشنهادی چنان اصلاح می‌شوند که هدف ریدیابی زمان-محدود مقاوم برآورده شده و قوانین تطبیق زمان-محدود برای تخمین پارامترهای عددی نامعلوم ذکر شده حاصل گرددند. به عنوان گام دوم در راستای کارهای آینده، فرض خواهد شد که فقط بردار متغیرهای پیکربندی مقاصل ربات  $\dot{q} \in \mathbb{R}^n$  به صورت فیزیکی در اختیار بوده و مشتق این بردار یعنی  $\ddot{q} \in \mathbb{R}^n$  به صورت عملی قابل اندازه‌گیری نبوده و بنابراین به طراحی رویتگر زمان-محدود کاهش مرتبه یافته پرداخته خواهد شد تا بردار  $\dot{q} \in \mathbb{R}^n$  را تخمین بزند. در ادامه همین گام دوم، رویتگر زمان-محدود طراحی شده به سیستم حلقة‌بسته ربات  $n$ -درجه آزادی افزوده خواهد شد و پایداری زمان-محدود سرتاسری سیستم حلقة‌بسته (شامل گشتاورهای ورودی کنترلی و رویتگر) مورد بازیبینی و اثبات مجدد قرار خواهد گرفت.

#### ۴-۵ نتایج شبیه‌سازی دسته چهارم از گشتاورهای ورودی

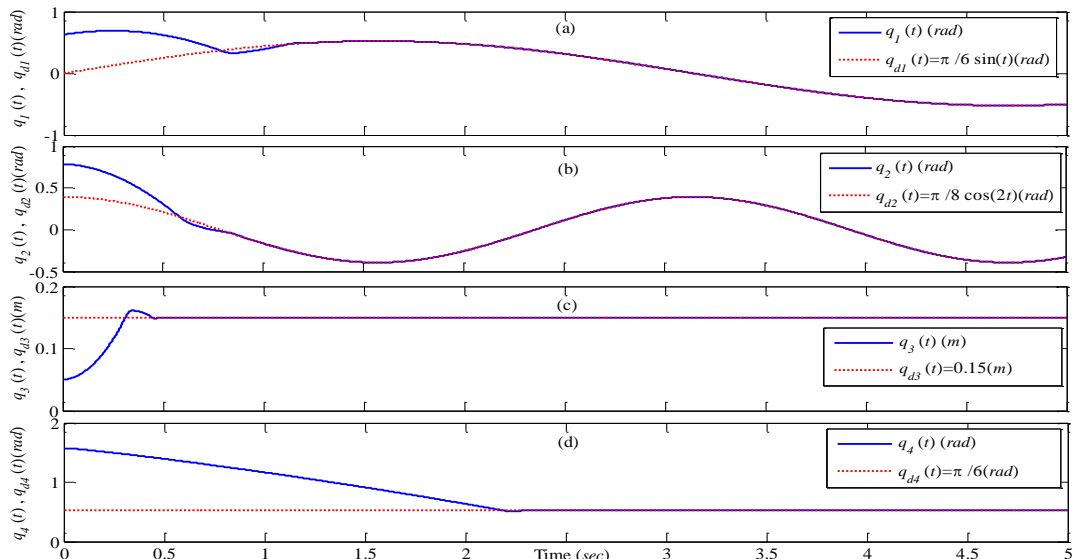
در شبیه‌سازی این زیربخش، برای به حرکت در آوردن مقاصل ربات صنعتی SCARA گشتاورهای ورودی پیشنهادی رابطه‌های (۳۱)، (۳۵) و (۳۲) اعمال شده‌اند. چهار غیرخطی ساز ناحیه محدود در مسیر گشتاورهای ورودی به فرم همان رابطه (۴۲) درنظر گرفته شده‌اند و پارامترهای مرتبط با این غیرخطی سازها توسط همان رابطه (۴۳) نتیجه می‌شوند. مقادیر انتخابی برای پارامترهای آزاد گشتاورهای ورودی دسته چهارم در رابطه (۴۵) آورده شده‌اند.

$$\begin{aligned} o_1 &= o_2 = o_3 = o_4 = 0.1 \\ \xi_1 &= \xi_3 = 2, \xi_2 = \xi_4 = 6 \\ \zeta &= 10, \eta_0 = 0, \eta_1 = \eta_2 = 5 \end{aligned} \quad (45)$$

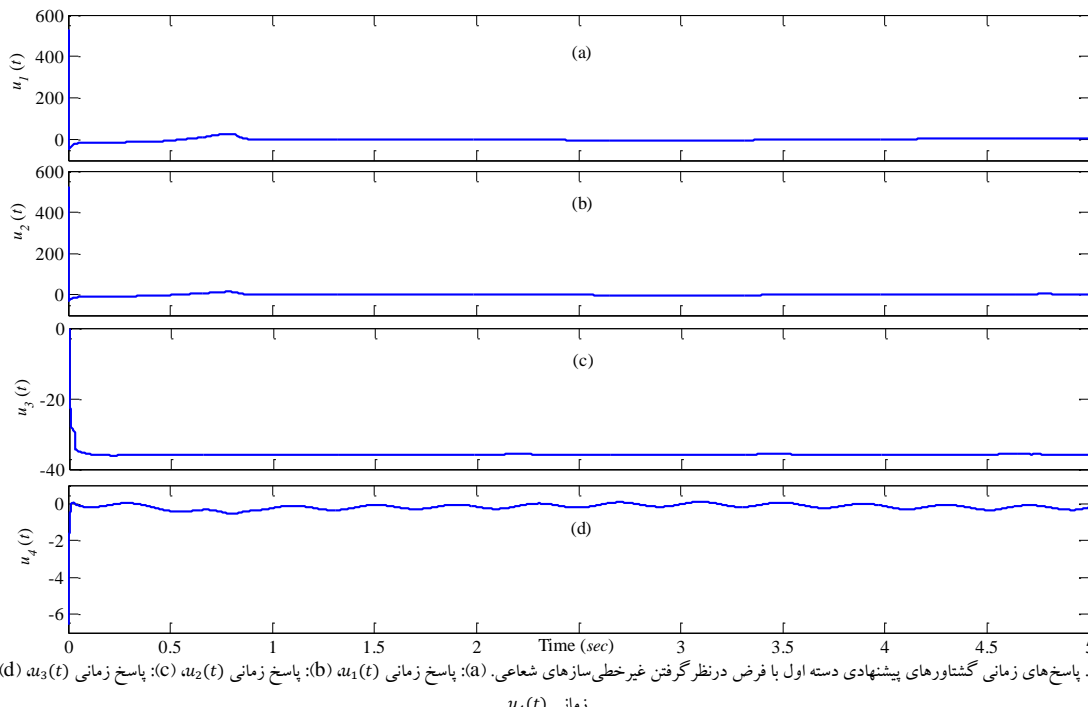
شکل ۱۰، پاسخ‌های زمانی متغیرهای پیکربندی مقاصل ربات SCARA را با فرض اعمال گشتاورهای پیشنهادی (۳۱)، (۳۵) و (۳۲) و در نظر گرفتن غیرخطی سازهای ورودی ناحیه مرده (۳۹) نشان می‌دهد. این شکل به وضوح نشان می‌دهد بعد از زمان محدود (sec) ۳.۴، متغیرهای پیکربندی مقاصل ربات به مسیرهای دلخواه رسیده‌اند. شکل ۱۱، پاسخ‌های زمانی گشتاورهای غیرخطی ورودی دسته چهارم را ارائه می‌دهد. با تمرکز بر روی شکل‌های ۴، ۶ و ۸ و ۱۰ می‌توان زمان‌های همگرایی زوایای مقاصل ربات SCARA به مسیرهای مورد نظر را برای هر چهار دسته گشتاورهای طراحی شده استخراج کرد. جدول شماره ۴ این زمان‌های همگرایی را نشان می‌دهد.

#### ۶- جمع‌بندی و نتیجه‌گیری

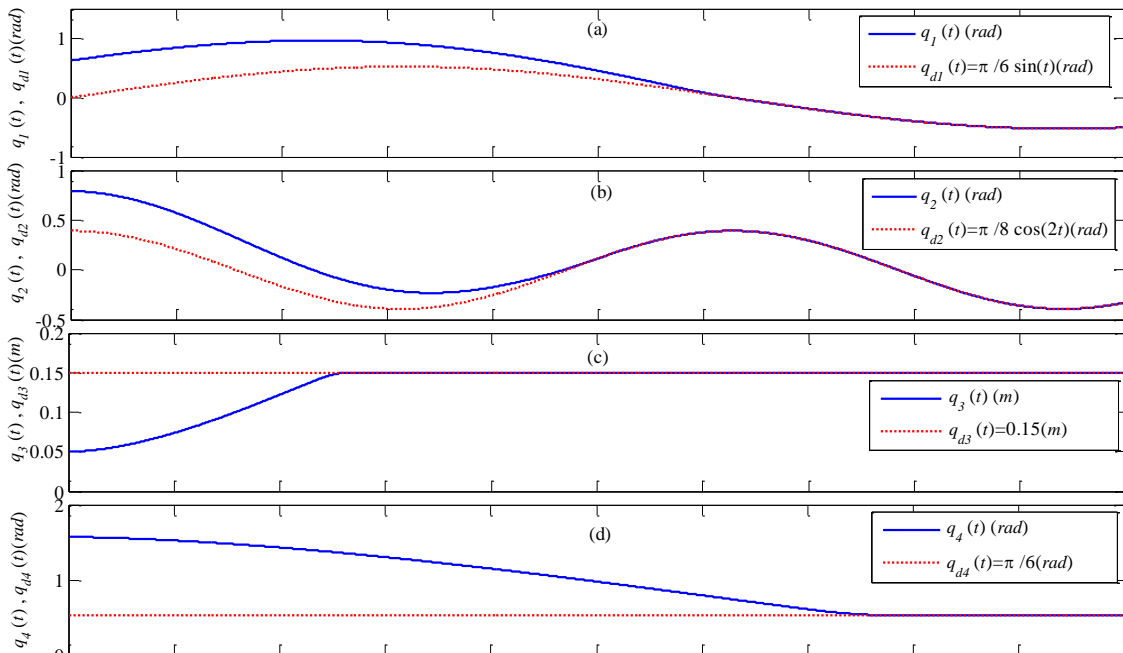
در این مقاله، مسئله‌ی ریدیابی زمان-محدود سرتاسری مقاوم برای ربات بازویی  $n$ -درجه آزادی که تحت تأثیر نامعینی‌ها و غیرخطی سازهای ورودی شاععی و ناحیه مرده بود، مورد بررسی قرار گرفت. با تعمیم روش



شکل ۴. پاسخ‌های زمانی متغیرهای پیکربندی مقاصل ربات SCARA با اعمال گشتاورهای پیشنهادی دسته اول و فرض درنظر گرفتن غیرخطی سازهای شاععی. (a): پاسخ‌های زمانی  $q_1(t)$  و  $q_{d1}(t)$ ; (b): پاسخ‌های زمانی  $q_2(t)$  و  $q_{d2}(t)$ ; (c): پاسخ‌های زمانی  $q_3(t)$  و  $q_{d3}(t)$ ; (d): پاسخ‌های زمانی  $q_4(t)$  و  $q_{d4}(t)$



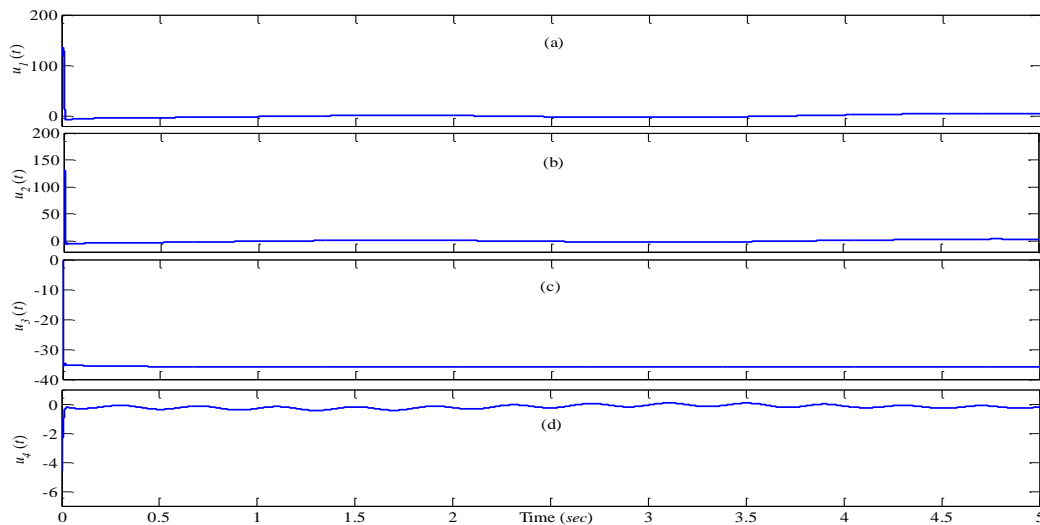
شکل ۵. پاسخ‌های زمانی گشتوارهای پیشنهادی دسته اول با فرض درنظر گرفتن غیرخطی‌سازهای شعاعی. (a): پاسخ زمانی  $u_1(t)$  (b): پاسخ زمانی  $u_2(t)$  (c): پاسخ زمانی  $u_3(t)$  (d): پاسخ زمانی  $u_4(t)$



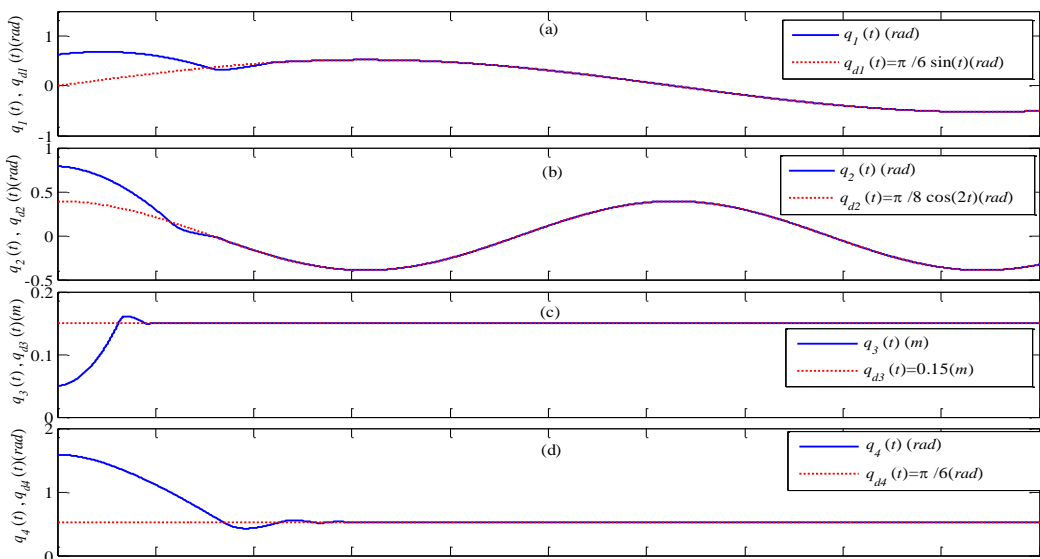
شکل ۶. پاسخ‌های زمانی متغیرهای پیکربندی مقاصل ربات SCARA با اعمال گشتوارهای پیشنهادی دسته دوم و فرض درنظر گرفتن غیرخطی‌سازهای شعاعی. (a): پاسخ‌های زمانی  $q_1(t)$  و  $q_{d1}(t)$  (b): پاسخ‌های زمانی  $q_2(t)$  و  $q_{d2}(t)$  (c): پاسخ‌های زمانی  $q_3(t)$  و  $q_{d3}(t)$  (d): پاسخ‌های زمانی  $q_4(t)$  و  $q_{d4}(t)$

جدول ۳. زمان‌های همگرایی زوایای مقاصل ربات SCARA به مسیرهای مورد نظر برای هر چهار دسته گشتوارهای طراحی شده

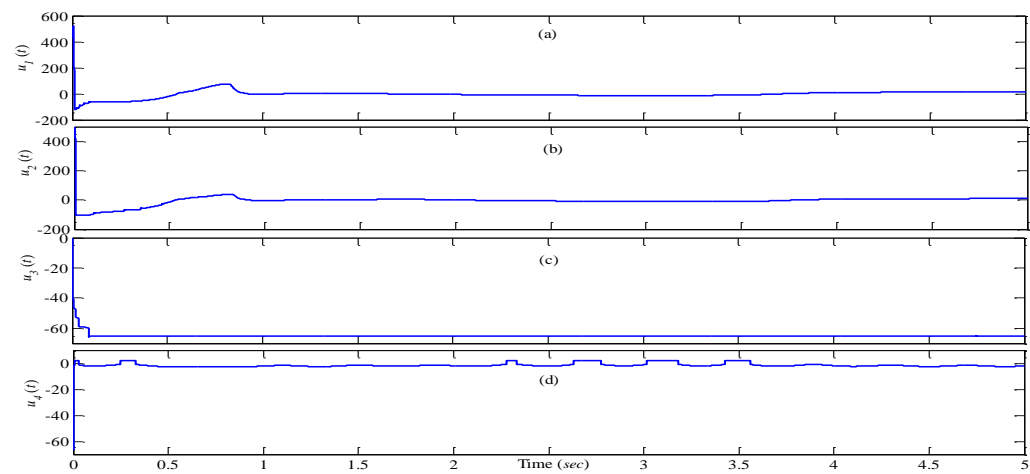
دسته گشتوار و نوع غیرخطی ساز	$q_1(t) \rightarrow q_{d1}(t)$	$q_2(t) \rightarrow q_{d2}(t)$	$q_3(t) \rightarrow q_{d3}(t)$	$q_4(t) \rightarrow q_{d4}(t)$
دسته اول از گشتوارهای غیرخطی ساز شعاعی	1.15(sec)	0.75(sec)	0.55(sec)	2.35(sec)
دسته دوم از گشتوارهای غیرخطی ساز شعاعی	3(sec)	2.45(sec)	1.3(sec)	3.75(sec)
دسته سوم از گشتوارهای غیرخطی ساز ناحیه مرده	1.1(sec)	0.8(sec)	0.5(sec)	1.4(sec)
دسته چهارم از گشتوارهای غیرخطی ساز ناحیه مرده	2.95(sec)	2.4(sec)	1.25(sec)	3.45(sec)



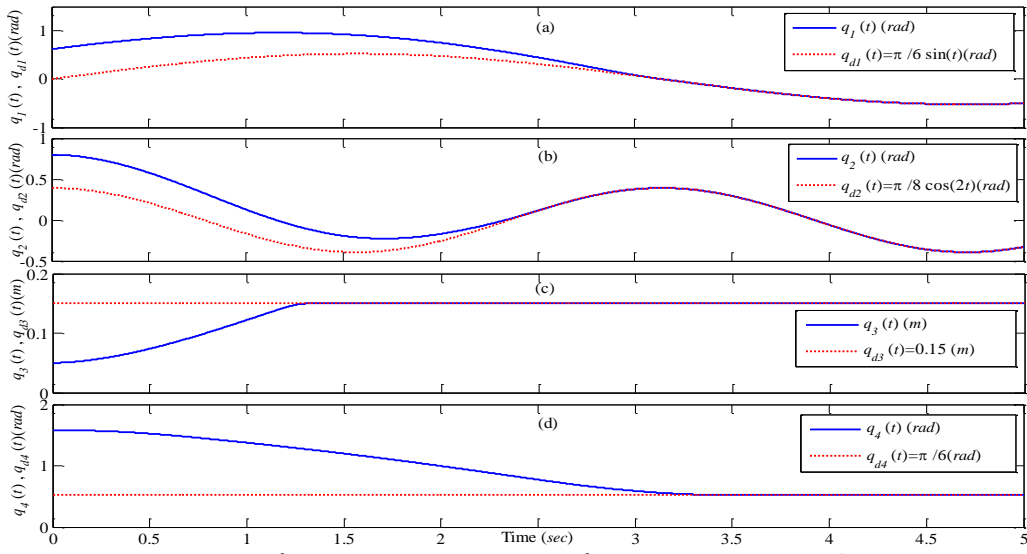
شکل ۷. پاسخ‌های زمانی گشتاورهای پیشنهادی دسته دوم با فرض درنظر گرفتن غیرخطی سازهای شاععی. (a): پاسخ زمانی  $u_1(t)$  (b): پاسخ زمانی  $u_2(t)$  (c): پاسخ زمانی  $u_3(t)$  (d): پاسخ زمانی  $u_4(t)$



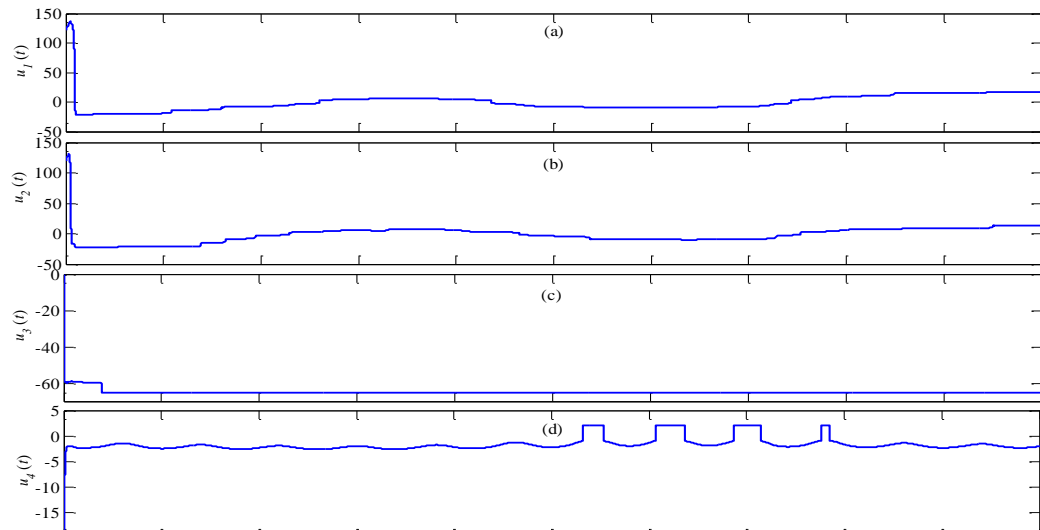
شکل ۸. پاسخ‌های زمانی متغیرهای پیکربندی مقاصل ربات SCARA با اعمال گشتاورهای پیشنهادی دسته سوم و فرض درنظر گرفتن غیرخطی سازهای ناحیه مرده. (a): پاسخ‌های زمانی  $q_1(t)$ ,  $q_{d1}(t)$  (rad) (b): پاسخ‌های زمانی  $q_2(t)$ ,  $q_{d2}(t)$  (rad) (c): پاسخ‌های زمانی  $q_3(t)$  و  $q_{d3}(t)$  (m) (d): پاسخ‌های زمانی  $q_4(t)$  و  $q_{d4}(t)$  (rad)



شکل ۹. پاسخ‌های زمانی گشتاورهای پیشنهادی دسته سوم با فرض درنظر گرفتن غیرخطی سازهای ناحیه مرده. (a): پاسخ زمانی  $u_1(t)$  (b): پاسخ زمانی  $u_2(t)$  (c): پاسخ زمانی  $u_3(t)$  (d): پاسخ زمانی  $u_4(t)$



شکل ۱۰. پاسخ‌های زمانی متغیرهای پیکربندی مفاصل ربات SCARA با اعمال گشتاورهای پیشنهادی دسته چهارم و فرض درنظر گرفتن غیرخطی‌سازهای ناحیه مرسد. (a): پاسخ‌های زمانی  $q_1(t)$  و  $q_{d1}(t)=\pi/6 \sin(t)$  (rad); (b): پاسخ‌های زمانی  $q_2(t)$  و  $q_{d2}(t)=\pi/8 \cos(2t)$  (rad); (c): پاسخ‌های زمانی  $q_3(t)$  و  $q_{d3}(t)=0.15$  (m); (d): پاسخ‌های زمانی  $q_4(t)$  و  $q_{d4}(t)=\pi/6$  (rad).



شکل ۱۱. پاسخ‌های زمانی گشتاورهای پیشنهادی دسته چهارم با فرض درنظر گرفتن غیرخطی‌سازهای ناحیه مرسد. (a): پاسخ زمانی  $u_1(t)$ ; (b): پاسخ زمانی  $u_2(t)$ ; (c): پاسخ زمانی  $u_3(t)$ ; (d): پاسخ زمانی  $u_4(t)$ .

- [4] M. D. Tran and H. J. Kang, “Adaptive terminal sliding mode control of uncertain robotic manipulator based on local approximation of a dynamic system,” *Nerocomputing*, vol. 228, no. 1, pp. 231-240, 2017.
- [5] K. Kaltsoukalas, S. Makris, and G. Chryssolouris, “On generating the motion of industrial robot manipulators,” *Robotics and Computer-Integrated Manufacturing*, vol. 32, no. 1, pp. 65-71, 2015.
- [6] G. Rigatos, P. Siano, and G. Raffo, “An H-infinity nonlinear control approach for multi-DOF robotic manipulator,” *IFAC-Paper Online*, vol. 49, no. 12, pp. 1406-1411, 2016.

## مراجع

- [1] N. Adhikary and C. Mahanta, “Inverse dynamics based robust control method for position commanded servo actuators in robot manipulators,” *Control Engineering Practice*, vol. 66, no. 1, pp. 146-155, 2017.
- [2] Z. Ma and G. Sun, “Dual terminal sliding mode control design for rigid robotic manipulator,” *Journal of the Franklin Institute*, doi: 10.1016/j.jfranklin.2017.01.034, Available online 4 February, 2017.
- [3] M. Galicki, “Finite-time trajectory tracking control in a task space of robotic manipulator,” *Automatica*, vol. 67, no. 1, pp. 165-170, 2016.

- Applications*, vol. 10, no. 13, pp. 1565-1572, 2016.
- [18] B. Baigzadehnoe, Z. Rahmani, A. Khosravi, and B. Rezaie, "On position/force tracking control problem of cooperative robot manipulators using adaptive fuzzy backstepping approach," *ISA Transactions*, vol. 70, no. 1, pp. 432-446, 2017.
- [19] علی ابوئی، مسعود مراد خراسانی و محمد حائری، "ردیابی زمان محدود سرتاسری کلاس جامعی از سیستم‌های غیرخطی با استفاده از کنترل تطبیقی-لغزشی ترمینال غیرتکین" *مجله علمی و پژوهشی کنترل و ابزار دقیقی*, جلد ۹، شماره ۴، تابستان ۱۳۹۴، صفحات ۲۷-۳۹.
- [20] D. J. López-Araujo, A. Zavala-Río, V. Santibáñez, and F. Reyes, "Global adaptive regulation of robot manipulators with bounded inputs," *IFAC Proceedings Volume*, vol. 45, no. 22, pp. 881-888, 2012.
- [21] J. Wilson, M. Charest, and R. Dubay, "Non-linear model predictive control schemes with application on a 2-link vertical robot manipulator," *Robotics and Computer-Integrated Manufacturing*, vol. 41, no. 1, pp. 23-30, 2016.
- [22] P. R. Ouyang, W. J. Zhang, and M. M. Gupta, "An adaptive switching learning control method for trajectory tracking of robot manipulators," *Mechatronics*, vol. 16, no. 1, pp. 51-61, 2006.
- [23] T. Sun, H. Pei, Y. Pan, H. Zhou, and C. Zhang, "Neural network-based sliding mode adaptive control for robot manipulators," *Neurocomputing*, vol. 74, no. 14, pp. 2377-2384, 2011.
- [24] P. Tomei, "Adaptive PD controller for robot manipulators," *IEEE Transactions on Robotics and Automation*, vol. 7, no. 4, pp. 565-570, 1991.
- [25] A. Zavala-Rio and V. Santibanez, "A natural saturating extension of the PD-with-desired-gravity-compensation control law for robot manipulators with bounded inputs," *IEEE Transactions on Robotics*, vol. 23, no. 2, pp. 386-391, 2007.
- [26] A. Zavala-Rio and V. Santibanez, "Simple extensions of the PD-with-gravity-compensation control law for robot manipulators with bounded inputs," *IEEE Transactions on Control Systems Technology*, vol. 14, no. 5, pp. 958-965, 2006.
- [27] R. Kelly, "Global positioning of robot manipulators via PD control plus a class of nonlinear integral actions," *IEEE Transactions on Automatic Control*, vol. 43, no. 7, pp. 934-938, 1998.
- [7] S. I. Han and J. Lee, "Finite-time sliding surface constrained control for a robot manipulator with an unknown dead-zone and disturbance," *ISA Transactions*, vol. 65, no. 1, pp. 307-318, 2016.
- [8] A. Abooe, M. Moravej Khorasani, and M. Haeri, "Finite Time Control of Robotic Manipulators with Position Output Feedback," *International Journal of Robust and Nonlinear Control*, vol. 27, no. 16, pp. 2982-2999, 2017.
- [9] A. Mohammadi, M. Tavakoli, H. J. Marquez, and F. Hashemzadeh, "Nonlinear disturbance observer design for robotic manipulators," *Control Engineering Practice*, vol. 21, no. 3, pp. 253-267, 2013.
- [10] X. Wang and J. Zhao, "Autonomous switched control of load shifting robot manipulators," *IEEE Transactions on Industrial Electronics*, vol. 64, no. 9, pp. 7161-7170, 2017.
- [11] M. Wang and A. Yang, "Dynamic learning from adaptive neural control of robot manipulators with prescribed performance," *IEEE Transactions on Systems Man, and Cybernetics: Systems*, vol. 47, no. 8, pp. 2244-2255, 2017.
- [12] J. Lee, P. H. Chang, and M. Jin, "Adaptive integral sliding mode control with time-delay estimation for robot manipulators," *IEEE Transactions on Industrial Electronics*, vol. 64, no. 8, pp. 6796-6804, 2017.
- [13] G. Paolo, I. A. Ferrara, and L. Magni, "MPC for robot manipulators with integral sliding mode generation," *IEEE/ASME Transactions on Mechatronics*, vol. 22, no. 3, pp. 1299-1307, 2017.
- [14] H. Wang, "Adaptive control of robot manipulators with uncertain kinematics and dynamics," *IEEE Transactions on Automatics Control*, vol. 62, no. 2, pp. 948-954, 2017.
- [15] Y. Wang, L. Gu, Y. Xu, and X. Cao, "Practical tracking control of robot manipulators with continuous fractional-order nonsingular terminal sliding mode," *IEEE Transactions on Industrial Electronics*, vol. 63, no. 10, pp. 6194-6204, 2016.
- [16] J. Baek, M. Jin, and S. Han, "A new adaptive sliding-mode control scheme for application to robot manipulators," *IEEE Transactions on Industrial Electronics*, vol. 63, no. 6, pp. 3628-3637, 2016.
- [17] D. Nojavanzadeh and M. Badamchizadeh, "Adaptive fractional-order non-singular fast terminal sliding mode control for robot manipulators," *IET Control Theory and*

- Integrated Manufacturing*, vol. 44, no. 1, pp. 129-143, 2017.
- [38] D. Zhang and B. Wei, "A review on model reference adaptive control of robotic manipulators," *Annual Reviews in Control*, vol. 43, no. 1, pp. 188-198, 2017.
- [39] S. H. Park and S. I. Han, "Robust-tracking control for robot manipulator with dead-zone and friction using backstepping and RFNN controller," *IET Control Theory and Applications*, vol. 5, no. 12, pp. 1397-1417, 2011.
- [40] W. He, Y. Dong, and C. Sun, "Adaptive neural impedance control of a robotic manipulator with input saturation," *IEEE Transactions on Systems, Man, and Cybernetics: Systems*, vol. 46, no. 3, pp. 334-344, 2016.
- [41] E. Aguinaga-Ruiz, A. Zavala-Rio, V. Santibanez, and F. Reyes, "Global trajectory tracking through static feedback for robot manipulators with bounded inputs," *IEEE Transactions on Control Systems Technology*, vol. 17, no. 4, pp. 934-944, 2009.
- [42] V. Santibanez, R. Kelly, and M. A. Liama, "A novel global asymptotic stable set-point fuzzy controller with bounded torques for robot manipulators," *IEEE Transactions on Fuzzy Systems*, vol. 13, no. 3, pp. 362-372, 2005.
- [43] W. Deng, J. Yao, and D. Ma, "Robust adaptive asymptotic tracking control of a class of nonlinear systems with unknown input dead-zone," *Journal of the Franklin Institute*, vol. 352, no. 12, pp. 5686-5707, 2015.
- [44] S. Hasanzadeh, F. Janabi-Sharifi, and P. Keenan, "Backlash characterization and position control of a robotic catheter manipulator using experimentally-based kinematic model," *Mechatronics*, vol. 44, no. 1, pp. 94-106, 2017.
- [45] K. C. Hsu, W. Y. Wang, and P. Z. Lin, "Sliding mode control for uncertain nonlinear systems with multiple inputs containing sector nonlinearities and dead-zones," *IEEE Transactions on Systems, Man, and Cybernetics, Part B (Cybernetics)*, vol. 34, no. 1, pp. 374-380, 2004.
- [46] B. K. Dinh, M. Xiloyannis, L. Cappello, C. W. Antuvan, S. C. Yen, and L. Masia, "Adaptive backlash compensation in upper limb soft wearable exoskeletons," *Robotics and Autonomous Systems*, vol. 92, no. 1, pp. 173-186, 2017.
- [28] F. Temurtas, H. Temurtas, and N. Yumusak, "Application of neural generalized predictive control to robotic manipulators with a cubic trajectory and random disturbances," *Robotics and Autonomous Systems*, vol. 54, no. 1, pp. 74-83, 2006.
- [29] W. He, D. O. Amoateng, C. Yang, and D. Gong, "Adaptive neural network control of a robotic manipulator with unknown backlash-like hysteresis," *IET Control Theory and Applications*, vol. 11, no. 4, pp. 567-575, 2017.
- [30] C. Sun, W. He, and J. Hong, "Neural network control of a flexible robotic manipulator using the lumped spring-mass model," *IEEE Transactions on Systems, Man, and Cybernetics: Systems*, vol. 47, no. 8, pp. 1863-1874, 2017.
- [31] R. J. Wai and R. Muthusamy, "Design of fuzzy-neural-network-inherited backstepping control for Robot manipulator including actuator dynamics," *IEEE Transactions on Fuzzy Systems*, vol. 22, no. 4, pp. 709-722, 2014.
- [32] M. R. Soltanpour, P. Otadolajam, M. H. Khooban, "Robust control strategy for electrically driven robot manipulators: adaptive fuzzy sliding mode," *IET Science, Measurement and Technology*, vol. 9, no. 3, pp. 322-334, 2015.
- [33] Z. Li, C. Yang, C. Y. Su, S. Deng, F. Sun, and W. Zhang, "Decentralized fuzzy control of multiple cooperating robotic manipulators with impedance interaction," *IEEE Transactions on Fuzzy Systems*, vol. 23, no. 4, pp. 1044-1056, 2015.
- [34] Z. Zhang, L. Zheng, J. Yu, Y. Li, and Z. Yu, "Three recurrent neural networks and three numerical methods for solving a repetitive motion planning scheme of redundant robot manipulators," *IEEE/ASME Transactions on Mechatronics*, vol. 22, no. 3, pp. 1423-1434, 2017.
- [35] M. Vijay and D. Jena, "PSO based neuro fuzzy sliding mode control for a robot manipulator," *Journal of Electrical Systems and Information Technology*, vol. 4, no. 1, pp. 243-256, 2017.
- [36] P. Gierlak and M. Szuster, "Adaptive position/force control for robot manipulator in contact with a flexible environment," *Robotics and Autonomous Systems*, vol. 95, no. 1, pp. 80-101, 2017.
- [37] N. Nikdel, M. A. Badamchizadeh, V. Azimirad, and M. A. Nazari, "Adaptive backstepping control for an n-degree of freedom robotic manipulator based on combined state augmentation," *Robotics and Computer-*

- [58] Z. Zuo, "Nonsingular fixed-time consensus tracking for second-order multi-agent networks," *Automatica*, vol. 54, no. 1, pp. 305–309, 2015.
- [59] A. Abooe, M. Moravej Khorasani, and M. Haeri "Global Finite Time Stabilization of a Class of Uncertain MIMO Nonlinear Systems," *Journal of Dynamic Systems, Measurement, and Control*, vol. 138, no. 2, pp 021007 (1-9), 2016.
- [60] H. Liu, T. Zhang, and X. Tian, "Continuous output-feedback finite-time control for a class of second-order nonlinear systems with disturbances," *International Journal of Robust and Nonlinear Control*, vol. 26, no. 2, pp. 218-234, 2016.
- [61] S. P. Bhat and D. S. Bernstein, "Geometric homogeneity with applications to finite-time stability," *Mathematics of Control, Signals and Systems*, vol. 17, no. 2, pp. 101-127, 2005.
- [62] S. P. Bhat and D. S. Bernstein, "Finite-time stability of continuous autonomous systems," *SIAM Journal on Control and Optimization*, vol. 38, no. 3, pp. 751-766, 2000.
- [63] M. Defoort, A. Polyakov, G. Demesure, M. Djemai, and K. Veluvolu, "Leader-follower fixed-time consensus for multi-agent systems with unknown non-linear inherent dynamics," *IET Control Theory and Applications*, vol. 9, no. 14, pp. 2165–2170, 2015.
- [64] A. Polyakov and A. Poznyak, "Lyapunov function design for finite-time convergence analysis: "Twisting" controller for second-order sliding mode realization," *Automatica*, vol. 45, no. 2, pp. 444-448, 2009.
- پیوست ۱.** اثبات نامساوی  $(s^T \phi(u) \leq -\Omega \sum_{i=1}^n \alpha_i \xi_i |s_i|)$  با درنظر گرفتن گشتاورهای (۲۰) و غیرخطی سازهای شاععی (۱۴).  
با جایگذاری  $u_i$  از رابطه (۲۰) در نامساوی مرتبط با غیرخطی ساز شاععی (۱-۱)، رابطه (۱-۱) حاصل می‌شود.  

$$\alpha_i \xi_i^2 \Omega^2 \text{sign}^2(s_i) \leq -\xi_i \Omega \text{sign}(s_i) \phi_i(u_i) \text{ with } i = 1, 2, \dots, n. \quad (1-1)$$
حال با ضرب ترم  $s_i^2$  در طرفین نامساوی (۱-۱) و درنظر گرفتن حقیقت  $s_i \text{sign}(s_i) = |s_i|$  رابطه (۲-۱) نتیجه می‌گردد.  

$$\alpha_i \xi_i^2 \Omega^2 |s_i|^2 \leq -\xi_i \Omega |s_i| s_i \phi_i(u_i) \text{ with } i = 1, 2, \dots, n. \quad (2-1)$$
با توجه به مثبت بودن ترم  $\alpha_i \Omega |s_i| \xi_i$  و حذف این ترم از طرفین نامساوی (۲-۱)، نامساوی رابطه (۳-۱) حاصل می‌گردد.  

$$s_i \phi_i(u_i) \leq -\alpha_i \xi_i \Omega |s_i| \text{ with } i = 1, 2, \dots, n. \quad (3-1)$$
بدیهی است که  $(s^T \phi(u) = \sum_{i=1}^n s_i \phi_i(u_i) \leq -\Omega \sum_{i=1}^n \alpha_i \xi_i |s_i|)$  از رابطه (۳-۱) به راحتی نتیجه می‌شود و اثبات پایان می‌پذیرد. ■
- [47] T. Yang, S. Yan, and Z. Han, "Nonlinear model of space manipulator joint considering time-variant stiffness and backlash," *Journal of Sound and Vibration*, vol. 341, no. 1, pp. 246-259, 2015.
- [48] A. Abooe and M. Haeri, "Stabilization of commensurate fractional order polytopic nonlinear differential inclusion subject to input nonlinearity and unknown disturbances," *IET Control Theory & Applications*, vol. 7, no. 12, pp. 1624-1633, 2013.
- [۴۹] علی ابوبی و محمد حائری، "سنکرون‌سازی دو شمول دیفرانسیلی لور با وجود پارامترهای نامعلوم و غیرخطی ساز شاععی در مسیر ورودی‌های کنترلی" مجله علمی و پژوهشی کنترل و ابزار دقیق، جلد ۷، شماره ۲، تابستان ۱۳۹۲، صفحات ۵۷-۶۹.
- [50] S. P. Bhat and D. S. Bernstein, "Continuous finite-time stabilization of the translational and rotational double integrators," *IEEE Transactions on Automatic Control*, vol. 43, no. 5, pp. 678-682, 1998.
- [51] Z. Zuo and L. Tie, "A new class of finite-time nonlinear consensus protocols for multi-agent systems," *International Journal of Control*, vol. 87, no. 2, pp. 363-370, 2016.
- [52] A. Polyakov, D. Efimov, and W. Perruquetti, "Finite-time and fixed-time stabilization: Implicit Lyapunov function approach," *Automatica*, vol. 51, no. 1, pp. 332-340, 2015.
- [53] X. H. Zhang, K. Zhang, and X. J. Xie, "Finite-time output feedback stabilization of nonlinear high-order feed forward systems," *International Journal of Robust and Nonlinear Control*, vol. 26, no. 8, pp. 1794-1814, 2016.
- [54] S. E. Parsegov, A. E. Polyakov, and P. S. Shcherbakov, "Fixed-time consensus algorithm for multi-agent systems with integrator dynamics," *IFAC Proceedings Volumes*, vol. 46, no. 27, pp. 110–115, 2013.
- [55] Y. Feng, X. Yu, and F. Han, "On nonsingular terminal sliding-mode control of nonlinear systems," *Automatica*, vol. 49, no. 6, pp. 1715-1722, 2013.
- [56] Y. Zhang, G. Liu, and B. Luo, "Finite-time cascaded tracking control approach for mobile robots," *Information Sciences*, vol. 284, no. 1, pp. 31-43, 2014.
- [57] S. Mondal and C. Mahanta, "Adaptive second order terminal sliding mode controller for robotic manipulators," *Journal of the Franklin Institute*, vol. 351, no. 4, pp. 2356-2377, 2014.

**پیوست ۲.** اثبات نامساوی  $(\mathbf{s}^T \boldsymbol{\phi}(\mathbf{u}) \leq -\Omega \sum_{i=1}^n \beta_i^* \xi_i |s_i|)$  با درنظر گرفتن گشتاورهای (۳۵) و غیرخطی‌سازهای ناحیه مرده (۱۵).  
با درنظر گرفتن  $0 < s_i$  و استناد به گشتاورهای ورودی (۳۵)، نامساوی  $u_i > u_{+i}$  نتیجه می‌شود. در ادامه با ارجاع به همین و  $\beta_i^* = \min(\beta_{+i}, \beta_{-i})$ ، رابطه (۱-۲) نتیجه می‌شود.

$$(u_i - u_{+i})\phi_i(u_i) = -\xi_i \Omega \text{sign}(s_i) \phi_i(u_i) \geq \beta_{+i} \xi_i^2 \Omega^2 \text{sign}^2(s_i) \geq \beta_i^* \xi_i^2 \Omega^2 \text{sign}^2(s_i) \quad (1-2)$$

with  $i = 1, 2, \dots, n$ .

در ادامه با درنظر گرفتن  $0 < s_i$  و استناد به گشتاورهای ورودی (۳۵)، نامساوی  $u_i < u_{-i}$  نتیجه می‌گردد. در ادامه با توجه به  $u_i < u_{-i}$  و غیرخطی‌ساز ناحیه مرده (۱۵)، رابطه (۲-۲) بدست می‌آید.

$$(u_i - u_{-i})\phi_i(u_i) = -\xi_i \Omega \text{sign}(s_i) \phi_i(u_i) \geq \beta_{-i} \xi_i^2 \Omega^2 \text{sign}^2(s_i) \geq \beta_i^* \xi_i^2 \Omega^2 \text{sign}^2(s_i) \quad (2-2)$$

with  $i = 1, 2, \dots, n$ .

بنابراین برای هر دو حالت  $0 < s_i$  و  $s_i > 0$  همواره نامساوی  $s_i \phi_i(u_i) \leq -\beta_i^* \xi_i \Omega |s_i|$  برقرار خواهد بود. با ضرب  $s_i \text{sign}(s_i)$  در طرفین همین نامساوی اخیر و درنظر گرفتن حقیقت  $\text{sign}(s_i) = s_i$ ، به نامساوی رابطه (۳-۲) خواهیم رسید.

$$s_i \phi_i(u_i) \leq -\beta_i^* \xi_i \Omega |s_i| \quad (3-2)$$

بدیهی است که  $(\mathbf{s}^T \boldsymbol{\phi}(\mathbf{u}) = \sum_{i=1}^n s_i \phi_i(u_i) \leq -\Omega \sum_{i=1}^n \beta_i^* \xi_i |s_i|)$  از رابطه (۲-۲) به راحتی بدست می‌آید و اثبات پایان می‌پذیرد. ■